

JAERI-M

7447

数値実験によるBWR・LOCA時における
燃料棒被覆管の最高表面温度と最大酸化
層厚さについての統計学的研究

1977年12月

下桶敬則・松本潔・武弘司^{*}・坂野和雄

日本原子力研究所
Japan Atomic Energy Research Institute

この報告書は、日本原子力研究所が JAERI-M レポートとして、不定期に刊行している研究報告書です。入手、複製などのお問合せは、日本原子力研究所技術情報部（茨城県那珂郡東海村）あて、お申しこしください。

JAERI-M reports, issued irregularly, describe the results of research works carried out in JAERI. Inquiries about the availability of reports and their reproduction should be addressed to Division of Technical Information, Japan Atomic Energy Research Institute, Tokai-mura, Naka-gun, Ibaraki-ken, Japan.

数値実験による BWR・LOCA 時における燃料棒被覆管の
最高表面温度と最大酸化層厚さについての統計学的研究

日本原子力研究所 東海研究所
安全性試験研究センター 安全解析部
下桶敬則・松本 潔・武 弘司*・坂野和雄

(1977年11月25日受理)

軽水炉の LOCA 時の安全評価計算に使用されている保守的なモデルを統計学的に評価するために、代表的な BWR の LOCA 時に生ずる燃料棒被覆管の最高表面温度と最大酸化層厚さの確率分布を数値実験によって求める方法を研究した。使用した計算コードは BWR・LOCA 時の燃料ヒート・アップ挙動解析用の MOXY-EM である。

この数値実験は、使用する計算コードの総合感度解析 (Uncertainty Analysis) ともいえるもので、無数の入力の組合せが考えられる。しかし、すべての組合せについて計算するのは経済的にも時間的にも不可能なので、計算機の利用回数を少なくするために、直交表を用いた実験計画法を援用した。

そして、わずか 100 回程度の数値実験から、BWR・LOCA 時の燃料棒被覆管の最高温度と最大酸化層厚さの統計的分布を得ることができた。そこでは、最高表面温度は正規分布に、最大酸化層厚さは対数正規分布に従うことが同定できた。

さらに、実験結果の分散分析から、LOCA 現象の各要因の被覆管最高表面温度への効果の大きさ、また重回帰分析から、被覆管最高表面温度、最大酸化層厚さを従属変数、各要因を独立変数として表わした回帰式が得られた。

* 株式会社数値解析研究所

Statistical Studies on the Peak-Clad-Temperature and
Cladding Oxidation Thickness in Loss-of-Coolant
Accidents by Numerical Experiments for Typical Boiling
Water Reactor

Takanori SHIMOOKE, Kiyoshi MATUMOTO, Hiroshi TAKE*
and Kazuo SAKANO

Division of Reactor Safety Evaluation, Reactor Safety
Research Center, Tokai Research Establishment, JAERI

(Received November 25, 1977)

In evaluation of the conservative models to examine the emergency core cooling system of LWR, we have studied a numerical experiment method giving the probability distributions of peak-clad-temperature and maximum cladding oxidation thickness, which occur following a loss-of-coolant accident of typical BWR, using computer program MOXY-EM, a fuel heat-up analysis code for BWR.

The numerical experiment is so-called uncertainty analysis of computer program, in which number of computer runs corresponding to the number of sets of input data are involved. Treating all the sets, however, is expensive and time-consuming, so we used the experimental design using orthogonal arrays to reduce the number of runs.

From the small number of runs, we could obtain the right statistical distribution of peak-clad-temperature and maximum cladding oxidation thickness. The peak-clad-temperature was statistically found to distribute normally, and the maximum cladding oxidation thickness to obey a log-normal distribution.

Analysis of variance of the experimental data gave the degrees of factorial effects on the peak-clad-temperature, and multiple regression analysis the regression equations of peak-clad-temperature and of maximum cladding oxidation thickness in terms of important physical variables.

Keywords: BWR, LOCA, ECCS, MOXY-EM Code, Numerical Experiment, Experimental Design, Orthogonal Array, Peak-Clad-Temperature, Cladding Oxidation Thickness, Probability Distribution

* Japan Advanced Numerical Analysis

目 次

1.はじめに	1
2.BWR・LOCA時の炉心ヒート・アップ挙動	2
2.1 MOXY-EM コードについて	2
2.2 MOXY-EM で計算された BWR・LOCA 時の炉心ヒート・アップ挙動	2
3.数値実験	7
3.1 因子の決定	7
3.2 直交表を用いた実験計画法	8
3.3 水準数の決定	8
3.4 直交表わりつけ	8
3.5 入力データ作成と計算実行	10
4.分散分析	27
5.重回帰分析	41
6.分布形の推定	43
6.1 最高被覆管表面温度の分布形	43
6.1.1 少数回計算により得られた分布形	43
6.1.2 多数回計算から得られた分布形	43
6.1.3 最高被覆管表面温度の分布から得た各種数値	44
6.2 最大被覆管酸化層厚さの分布形	44
6.2.1 少数回計算から得られた分布形	44
6.2.2 多数回計算から得られた分布形	45
7.最高被覆管表面温度と最大被覆管酸化層厚さの統計的関係	53
8.まとめ	56
参考文献	58
謝 辞	57

CONTENTS

1. Introduction	1
2. Core Heat-up Behaviour of a Typical BWR at a Postulated LOCA	2
2.1 MOXY-EM Code	2
2.2 Core Heat-up Behaviour of a Typical BWR at a Postulated LOCA Calculated by MOXY-EM	2
3. Numerical Experiment	7
3.1 Decision of Factors	7
3.2 Design of Experiments by Orthogonal Array	8
3.3 Decision of the Number of Levels for Factors	8
3.4 Layout of Orthogonal Array	8
3.5 Input Data and Calculation by MOXY-EM	10
4. Analysis of Variance	27
5. Multiple Regression Analysis	41
6. Estimation of Probability Distributions	43
6.1 Probability Distribution of Peak Clad Temperature	43
6.1.1 Probability Distribution Obtained from the Small Number of Calculations	43
6.1.2 Probability Distribution Obtained from the Large Number of Calculations by Regression Equation	43
6.1.3 Statistical Values Obtained from Probability Distribution of Peak Clad Temperature	44
6.2 Probability Distribution of Cladding Oxidation Thickness ...	44
6.2.1 Probability Distribution Obtained from the Small Number of Calculations	44
6.2.2 Probability Distribution Obtained from the Large Number of Calculations by Regression Equation	45
7. A Statistical Relation between Peak Clad Temperature and Cladding Oxidation Thickness	53
8. Conclusion	56
Reference	58
Acknowledgment	57

1. はじめに

軽水炉の LOCA 時の安全評価計算は保守的に、すなわち、仮定、データ、変化量の組合せ等を充分な安全裕度をもつ結果になるように選択して行なわれる。ところで、このような保守的な安全評価計算の結果得られる燃料棒被覆管表面温度、被覆管酸化層厚さ等の最高値は、LOCA 現象が実際に起きた場合にとりうるそれらの値の中のどの辺に位置づけられるのだろうか。

それに答えるには、実際の原子炉を使用して実験を行い、その結果と比較できれば最も望ましい。しかしそれは事実上不可能である。そこで考えられるのが数値実験である。様々な条件で数値実験を行い、LOCA 時に生ずる燃料棒被覆管の最高表面温度、最大酸化層厚さの統計的確率分布等を求め、さらには、統計学的に ECCS の機能や安全評価計算モデルの評価をするのである。

安全評価計算用の計算機プログラム・コードによって得られる値を特性値 F とし、各種のパラメータ、入力データ等を X_1, X_2, \dots とすると、

$$F = F(x), \quad x = \begin{pmatrix} X_1 \\ X_2 \\ \vdots \end{pmatrix}$$

と表わすことができる。

ここで X_1, X_2, \dots をある範囲内で変化させたとき、あるいはある確率分布をもって自然に変化したとき、特性値 F のバラツキや平均値に及ぼす X_1, X_2, \dots の効果がどのようになるかを数値実験によって得たいということである。一つの入力に対する結果の感度を見る感度解析 (Sensitivity Analysis) に対し、これを総合感度解析、またはバラツキ解析 (Uncertainty Analysis) と呼ぶ。

この数値実験はコンピューター・プログラムを使用して行うのであるが、必要な情報を得るために、膨大な回数の計算を必要とするので、これを何か有効な手法でその回数を減少させ、経済的に情報を得なければならない。⁽¹⁾⁽²⁾

その手法の開発と確立を本研究の目的の 1 つとして、BWR・LOCA 時の炉心ヒート・アップ挙動を計算する MOXY-EM プログラム・コードを使用してこのバラツキ解析を試みた。直交表を用いた実験計画法によって数値実験の計画をたて、約 100 回の実験により特性値の分布形の推定、要因効果の定量的把握および特性値の要因間と重回帰式の推定等を行うことができた。⁽³⁾

この成果の一部はすでに米国原子力学会誌に発表したが、ここでは、用いた実験計画法の詳細な記述の他に、結果の分析および検討については未発表分のものを追加し、我々の実施した研究の成果の全体を報告することとした。

以下第 2 章で計算に使用した MOXY-EM コード、BWR・LOCA 時のヒート・アップ現象の紹介、第 3 章で数値実験の計画の方法と実施について、第 4 章では数値実験結果の分散分析、第 5 章では同じく重回帰分析について述べ、第 6 章で燃料棒被覆管の最高表面温度、最大酸化層厚さの分布形の推定を行い、第 7 章ではこれらの分布から得られた種々の数値について示し、最後に第 8 章にまとめを記した。

2. BWR・LOCA時の炉心ヒート・アップ挙動

2.1 MOXY-EMコードについて

MOXY-EMコードは米国原子力規制委員会(NRC)より導入した WREM (Water Reactor Evaluation Model)⁽⁴⁾ コード群の中においてBWRのLOCA時の炉心ヒート・アップ解析を担うものである。⁽⁵⁾

このコードによる計算結果で注目する値は、燃料棒被覆管表面最高温度 PCT (Peak Clad Temperature) と燃料棒被覆管酸化層最大厚さ COT (Cladding Oxidation Thickness) である。そして、このコードを動かすのに必要な入力は以下のものである。

- 1) 定格出力、出力減衰曲線
- 2) 集合体及び燃料棒の形状
- 3) チャンネル、軸方向、ローカル 各ピーキング係数
- 4) 被覆管破裂温度
- 5) 被覆管表面輻射率
- 6) 被覆管破裂時のふくれ割合
- 7) ギャップ熱伝達係数初期値 (Hgap)
- 8) 金属・水反応係数
- 9) 下部プレナム・フラッシング終了(断熱開始)時刻
- 10) 炉心スプレー定格流量到達時刻
- 11) チャンネルボックス濡れ時刻
- 12) 再冠水時刻
- 13) 冷却材温度
- 14) 表面熱伝達係数
- 15) 燃料・被覆管ギャップ・ガス組成、圧力等々。

2.2 MOXY-EMで計算されたBWR・LOCA時の炉心ヒート・アップ挙動

今回のバラツキ解析の対称となるBWR・LOCA時の炉心ヒート・アップ挙動を、MOXY-EMコードで計算されたものについて概略を示す。この例題の大部分の入力は実際にバラツキ解析を行うときにも使用される。

炉心ヒート・アップ挙動の解析は、非常用炉心冷却装置の性能評価のために行われるのであるが、この解析にあたり、事故としては、一次系ループの再循環ポンプの吸込口側配管の大破断による冷却材喪失事故(LOCA)を想定している。また対象となる原子炉は、110万KWe級の7×7型燃料集合体装荷のBWRである。

詳しい入力データは、第3章の入力データ作成の項で述べることにして、ここでは入力のうち、ブロー・ダウン現象から決まる冷却条件を直接表わしている表面熱伝達係数について Fig. 1 に示す。そして MOXY-EMコードで計算された燃料棒被覆管表面温度、被覆管酸化層厚さについ

て、それぞれ Fig. 2, Fig. 3 に示す。

Fig. 2 により、被覆管表面温度の変化を見ながら現象を追ってみよう。Fig. 2 を見ると、破断後 22 秒までは Fig. 1 の熱伝達係数の変化（核沸騰→膜沸騰→下部プレナム・フランシング）に従って変化している。下部プレナム・フランシングの終了する 22 秒から熱伝達係数は 0 となり、これから期間、冷却に寄与するのは輻射のみになるので、被覆管表面温度は著しく上昇する。破断後 40 秒で炉心スプレーが定格流量に達すると再びある程度の対流熱伝達が始まるが、被覆管表面温度は上昇が若干おさえられる程度である。55 秒で被覆管表面温度は 1800 °F に達し破裂する。これは、入力で被覆管破裂温度を 1800 °F としているためである。また、MOXY-EM モデルでは、最高被覆管温度が破裂温度に達すると、全燃料棒が同時に破裂すると仮定している。155 秒で炉心スプレー水によってチャンネル・ボックスが濡れて水の飽和温度まで下がるが、中心部の燃料棒の温度上昇率を下げる効果はほとんど見られない。もちろんチャンネル・ボックスに近い周辺部の燃料棒の温度上昇はおさえられる。170.9 秒になると、計算点の高さまで再冠水が達し、水面下になるので、被覆管表面温度は急激に低下する。

次に Fig. 3 によって、ジルコニウム・水反応による被覆管酸化層の厚さを見よう。Fig. 3 には内・外面それぞれの被覆管酸化層の変化の様子が示されている。破断後、最初のうちはゆっくりと外面酸化が進むが、被覆管が破裂すると（55 秒）、内面酸化が始まり、被覆管の温度上昇率も大きいので酸化層厚さは不連続的に増加する。そしてチャンネル・ボックスの濡れ、再冠水による温度低下とともに酸化層厚さは止まる。

今回のバランス解析では破断後 200 秒間における被覆管最高表面温度、被覆管酸化層最大厚さの 2 つの値を特性値として取扱う。酸化層厚さは内外面の合計値を特性値とする。

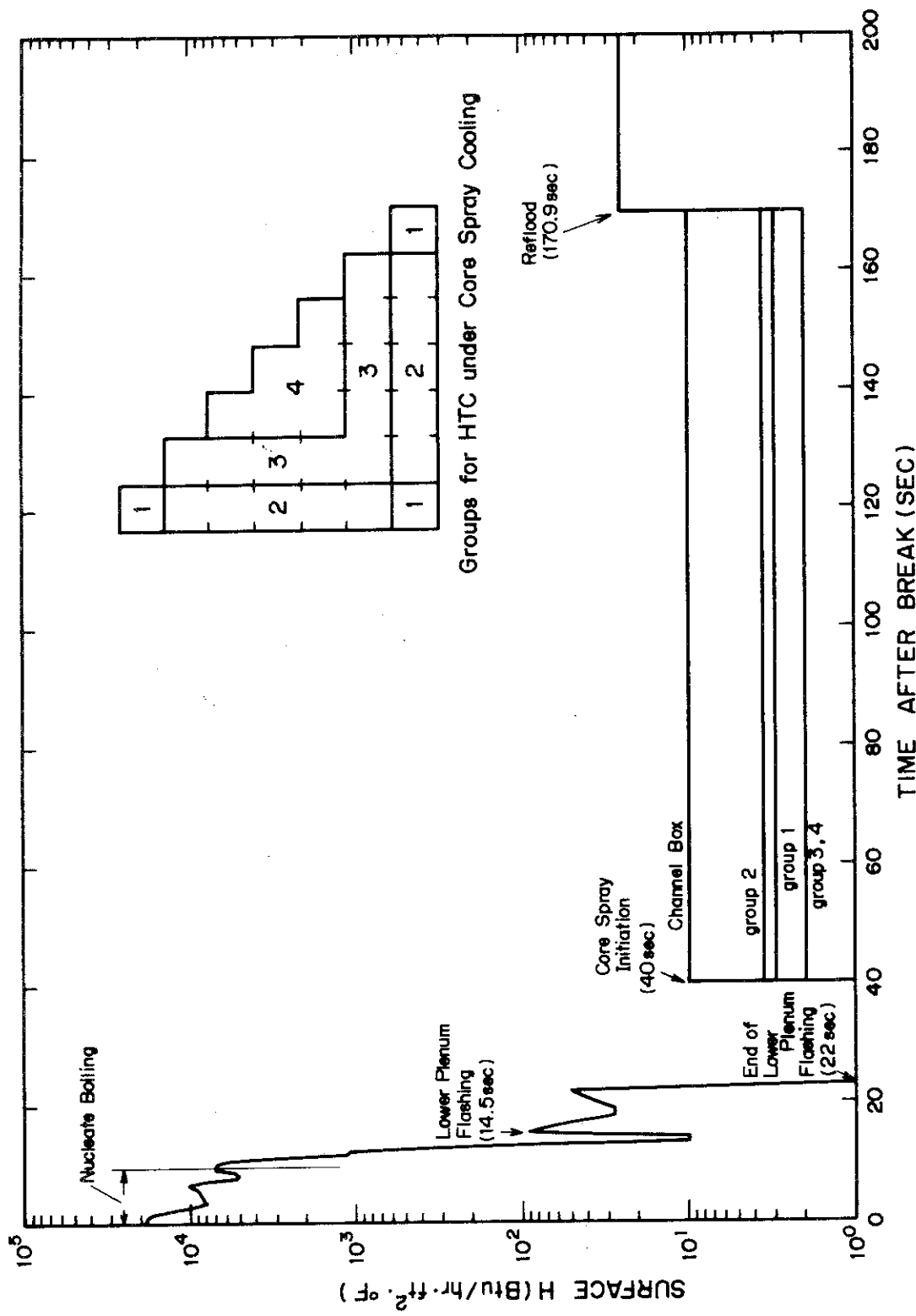


Fig. 1 Hot spot surface HTC vs. time

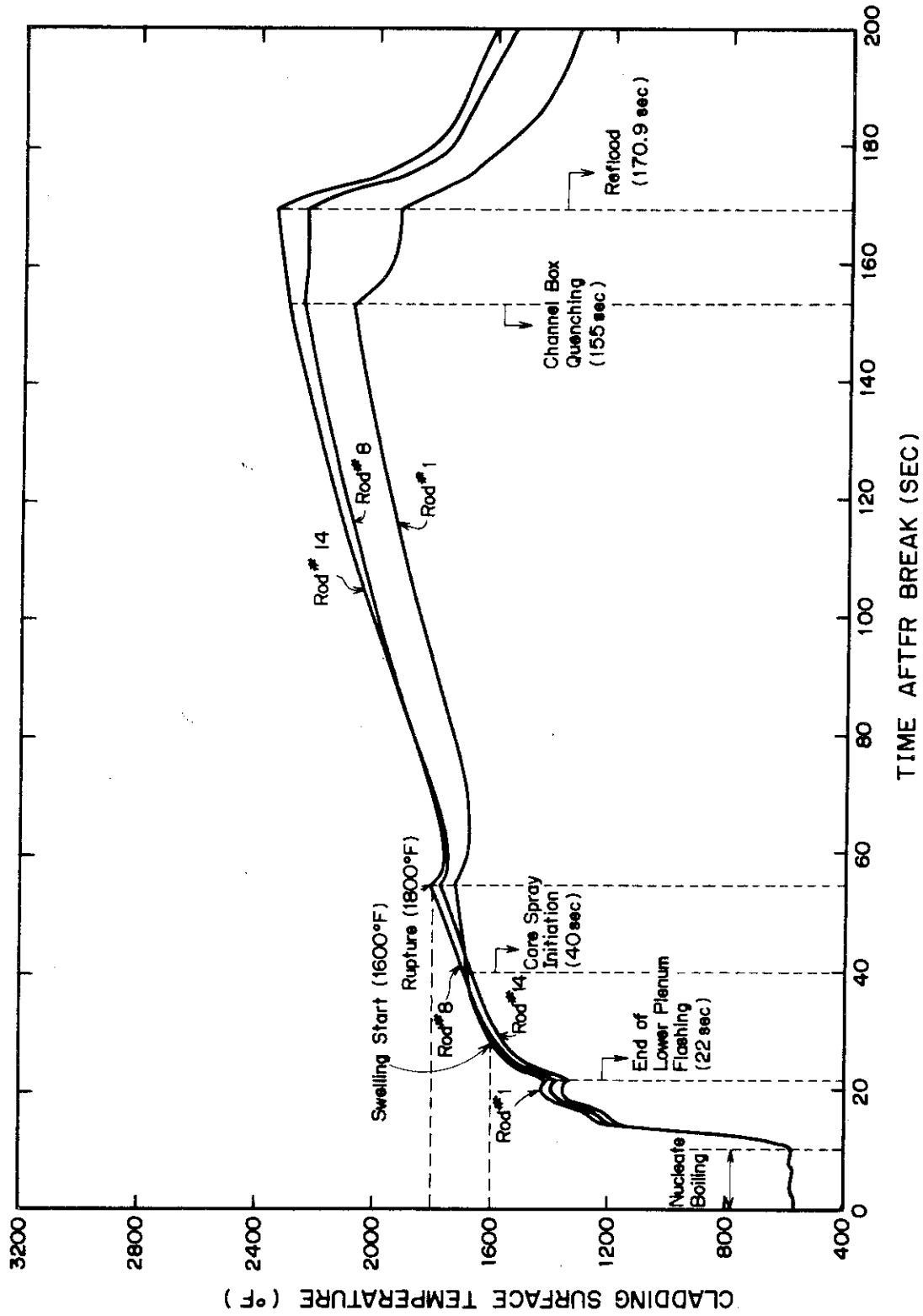


Fig. 2 Cladding surface temperature vs. time

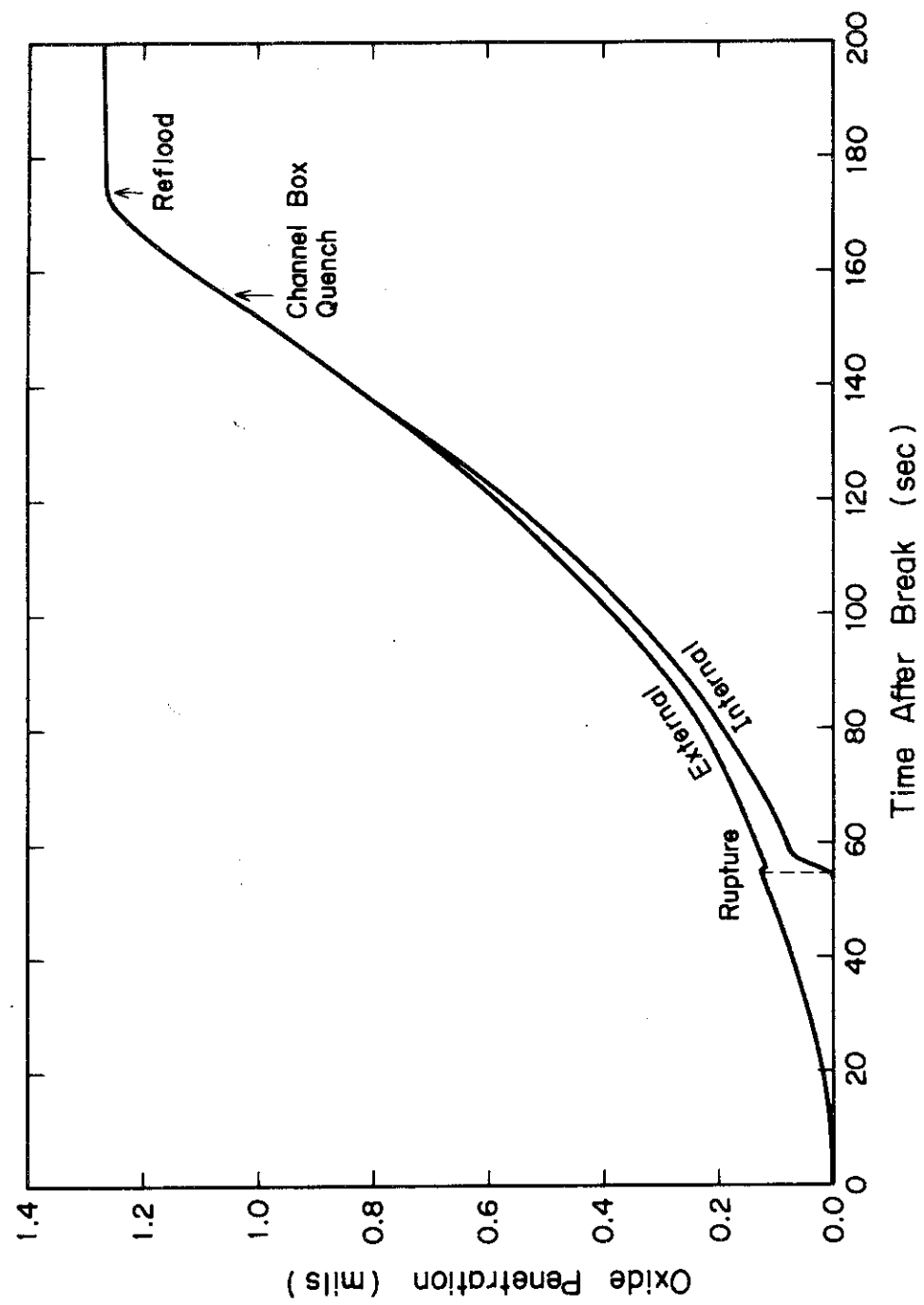


Fig. 3 Oxide penetration vs. time

3. 数 値 実 験

3.1 因子の決定

数値実験に使用する MOXY-EM コードの入力データのうちバラツキ解析に使用するもの（因子）は、特性値（最高被覆管表面温度、最大被覆管酸化層厚さ）を従属変数と考えたとき、独立変数として取扱えるものでなければならない。しかし、炉心ヒート・アップ現象を考えたとき、完全に独立変数とすることのできる入力はほとんどないといえる。そこで、比較的特性値に直接影響を及ぼすと考えられる入力で、しかも時系列でないものの中から 6 種類を因子として選んだ。そしてそれらの因子がとりうる上限、下限の値は、MOXY-EM が安全評価用の保守的なモデルを使用したコードであることや、NRC による感度解析⁽⁶⁾、その他実験データ等を参考にして Table 1 のように決定した。この 6 個を除く他の入力データは 2.2 で述べた例題と同じ値に固定した。ただしローカル・ピーピング係数はすべて 1.0 とした。

ここで、因子 D, F について説明を加える。

因子 D（ギャップ熱伝達係数初期値）は他の因子と異なった入力の方法をとっている。ギャップ熱伝達係数を決定する要因としては、照射歴、ペレット半径、ギャップ・ガス組成、ギャップ・ガス圧力等々が考えられる。しかし、MOXY-EM コードで計算するとき、ギャップ熱伝達係数を時々刻々変化させるためには、その初期値から内蔵計算をしなければならないので、ギャップ熱伝達係数の初期値そのものを入力することはできないのである。すなわち、実際に入力する値は上に述べた各要因である。そこで、この初期値を任意に与える方法として、照射歴やギャップ・ガス圧力等は固定してペレット半径を変化させることにした。これは、ギャップ熱伝達係数を決める各要因が独立でなく、またこれらの要因は MOXY-EM コードでは、ギャップ熱伝達係数の計算のみに使用されているので、このような大胆な手段を使えるのである。

また因子 F（炉心スプレー中の熱伝達係数）はバンドル内で 1 つの値ではなく、Fig. 4 に示す安全評価計算用のモデルを使用し、このモデルでの値 $3.0 \text{ Btu}/\text{hr} \cdot \text{ft}^2 \cdot {}^\circ\text{F}$ を $3.0 \sim 6.2$ の範囲で変化させ、他の領域の値はこのモデルと同じ割合で、比例させた値を与えた。例えば、 $F = 4.0$ のとき、角の燃料棒には $4 \times 3.5 / 3.5$ を、中心領域の燃料棒には $4 \times 1.5 / 3.5$ ($\text{Btu}/\text{hr} \cdot \text{ft}^2 \cdot {}^\circ\text{F}$) というようにしている。

こうして決定された因子 6 個を様々に変化させて、MOXY-EM コードによる数値実験を行い、結果のバラツキ具合を調べることにした。ところが、この 6 個の因子を各々の範囲内で変化させると、その 6 個の因子による組合せは無数にあり、どのような組合せの実験を合計何回行ったら目的とする特性値の分布が得られるのだろうか。ただ適当な値を各因子からピック・アップして組合せても莫大な数の実験回数になってしまふ。より経済的に、すなわち少ない実験回数で、目的を達成させる方法はないものか。

そこで、ここに採り上げた方法が、生産工場の品質管理等で多くの実績を上げている直交表を用いた実験計画法である。⁽⁷⁾

3.2 直交表を用いた実験計画

実験計画法そのものについての分類体系や詳細な計画手順等は、通常の教科書に詳しいのでここでは省略する。

実験計画法の歴史と概要については、例えば文献(8)を参照されたい。また、要因配置法における一部実施の概念を発展させ、多元配置実験の膨大な水準組合せの中から効果を推定するものの実験を行おうとする“直交表を用いた実験計画法”については、文献(7)に詳しい。

計算機によるシミュレーションが一種の実験である以上、当然ながら実験計画法における諸技術が役立つ。

3.3 水準数の決定

MOXY-EMコードの入力の中から 6 個の因子を選んだわけであるが、直交表を用いて実験計画をたてるためにそれぞれの因子の水準数を決めなければならない。各因子について若干の感度解析を行ない、1 つの水準内の因子の変動によって得られる最高被覆管表面温度の変化が約 20 °F になるように水準数を決めた。その結果を Table 1 の水準数 (Number Levels) の欄に示す。そして、このときの各水準に対応する各因子の上限、下限を Table 2 に示す。

各因子の水準数と、それに対応した数値の範囲が定まった段階で、その範囲を代表する数値をどのように定めたらよいかという点について考える。

第 1 に、例えば範囲の中心の値をとることが自然であろう。この方法で特性値の分布を求めたり、各因子の変動が特性値の変動に及ぼす影響を評価することはできるが、各因子が各水準に対応した中心値以外の値をとった場合の保障が得られない。また、計算機実験であるため実験誤差は存在しないから、分散分析表の誤差項の扱いは普通の実験の様に行なうこととはできない。

第 2 に、この範囲に一様乱数を対応させ、ランダムに数値を定めることが考えられよう。この方法は 1 因子 1 水準当たり最低 10 回程度の繰り返しが必要であろうから実験回数が少ない場合は使えないが、第 1 の方法の持つ欠点をカバーしてくれる。本実験では、第 2 の方法を用いた。

3.4 直交表わりつけ

(7)(9)
直交表には 2 水準系と 3 水準系とが用意されている。今回の場合、因子 E 以外はすべて 2 水準系に直接わりつけることができる。よって直交表は 2 水準系のものを使用し、因子 E については一部追加法を用いて 2 水準系にわりつけることができる。

さて、直交表は 2 水準系と決まったが、その中のどの直交表を使用するかはこの実験から得ようとする情報の数、すなわち自由度の合計によって決まる。自由度について Table 3 に示した。ここで、1 つの因子の水準の違いによる効果のうち、他の因子に影響される部分を交互作用といいう。交互作用には、2 因子交互作用の他に 3 因子、4 因子……の交互作用があるが、3 因子以上の交互作用はないものと仮定する。

Table 3 より、自由度の合計は 118 であるが、2 因子交互作用について明らかにないもの、無視できる程度と予想されるものを除くことによって減らすことができる。そこで 2 つの因子を変化させた簡単な計算を行い、2 因子交互作用として $B \times E$, $C \times E$, $D \times E$, $E \times F$ の 4 つを選んだ。他の交互作用は無視できるものと仮定した。その結果自由度の合計は 66 となる。

次に因子Eの取り扱いについて述べる。Eの自由度は5であり、他の4つの因子との交互作用が必要とされている。このような因子の取扱い方について文献(7)ではいくつかの方法を用意している。ここではそのうちの一つである一部追加法を採用する。その考え方は次の通りである。

まず6水準の因子Eを4水準としてしまって2水準系の直交表にわりつける。すなわち、第1～第4水準の実験を行う。次に、同じわりつけで因子Eの第1, 2, 5, 6 (あるいは第3, 4, 5, 6) 水準について実験を行うのであるが、重複する水準についての実験は省略する。結果の解析では、重複した水準のデータは2倍にして用い、4水準の因子Eの実験を2回行ったとするのである。したがって、因子Eと他の因子との直交性は保たれる。

Eを4水準として自由度を計算しなおすと、

$$\begin{array}{ccccccccc} 1 & + & 3 & + & 1 & + & 3 & + & 3 \\ A & \quad B & \quad C & \quad D & \quad E & \quad F & \quad B \times E & \quad C \times E & \quad E \times F \end{array} = 44$$

となり、2水準系の直交表ではL₆₄と使用することになる。L₆₄をTable 4に示す。

直交表は、複雑な使い方をする場合に欠かせない線点図の用意されている“田口の表”⁽¹⁰⁾を用いることとする。4水準因子間の交互作用が3個必要とされるから、線点図はFig. 5に示す型のものを用いる。

この線点図からL₆₄の63列を次のように使う。

E	1	2	3
B	16	32	48
D	20	40	60
F	24	42	52
C	28		
A	15		

ここで、4水準のもの、例えばBについて説明すると次のようになっている。直交表は数字1と2の組合せであるから、2つの列を使えば4水準を表わすことができる。よって、Bは16, 32列にわりつけたわけである。ところが、16と32列の交互作用の現われる48列には他の因子をわりつけることができない。したがってBをわりつける列が、16, 32, 48列になるわけである。また、交互作用の現われる列は次のようにになる。(Table 5参照のこと。)

B × E	17, 18, 19, 33, 34, 35, 49, 50, 51列
D × E	21, 22, 23, 41, 42, 43, 61, 62, 63列
E × F	25, 26, 27, 45, 46, 47, 53, 54, 55列
C × E	29, 30, 31, 列

上記の列以外は全部誤差となる。すなわち、誤差の自由度は63 - 44 = 19である。

計算回数(実験回数)は、Eを4水準として2回とっているので64 × 2 = 128回である。しかし、Eの第1, 2水準は組合せが重複するので、これには1回目の結果を2回目にも使用することにし、その結果計算回数は64 + 64/2 = 96回となる。

次に、各因子をわりつけた列を使って、その因子の水準をわりつける。例えばBについては次のようになる。16列と32列を使って数字1～4をつくる。

列 16 32

1	1	→	1
1	2	→	2
2	1	→	3
2	2	→	4

他の因子についても同様にわりつけた列を使って数字をつくる。そして、その数字に従って各因子の水準をわりつけるのであるが、数字とそれにわりつける水準の並びとの対応は全く自由である。

今回は、3組の実験を計画したが、わりつけの数字に対するそれぞれの実験における水準の対応は Table 6 に示すようになっている。この対応に従ってつくられた水準わりつけ表は、実験第1, 2組について示すと Table 7 のようになる。

実験を3組計画したのは、以下の理由による。まず第1に、実験第1, 2組と第3組とは水準のわりつけが異なる。すなわち直交表は同じものを用いているが、わりつけ表が異なっているので、この違いが結果に及ぼす影響を見ようというわけである。次に、実験第1組と第2組との違いであるが、3.3節で述べたように、各水準の中で因子の値をランダムにサンプリングした場合、そのランダム・サンプリングの方法を変えるための2組である。これによって、ランダム・サンプリングの違いが結果に及ぼす影響を見る事ができるであろう。

ランダム・サンプリングの方法は次のようにした。まず0～1の間で乱数を発生させ、その並びを作ておく。そして、計算No.1のA, B, ……F, No.2のA, B, ……F, ……という順にその乱数を対応させ、Table 8 に示すように、因子によって、そのときの乱数から00～99または000～999(四捨五入によって)とするRをつくる。そしてその水準の区間内でRによる比例配分で因子の値を決定するのである。実験第1組と第2組とは、0～1の間で発生させた乱数の並びが異なるのである。

3.5 入力データ作成と計算実行

前項3.4で決定した各因子のわりつけに従って、MOXY-EMコードの入力データを作成する。入力データのうち6個の因子以外については次に述べる値(各計算で共通)を使用している。

対象とする原子炉は、BWR 定格出力(100%) 3293 MWth, 燃料集合体の数764, 集合体内燃料棒49本(計算は対角線対称として28本について行う), その有効長12フィート, チャンネル・ピーキング係数, 軸方向ピーキング係数はそれぞれ1.33, 1.487, ローカル・ピーキング係数はすべて1.0である。また、被覆管半径0.28145インチ, 被覆管厚さ0.032インチ, ロッド・ピッチ0.738インチ, チャンネル・ボックス内側一辺の長さ5.278インチ, チャンネル・ボックス厚さ0.08インチである。その他計算条件となる入力データの主なものは次の通りである。

燃料棒, チャンネル・ボックスの輻射率	0.67
スウェーリング開始温度	破裂温度 - 200 °F
被覆管ふくれ割合	ロッド・ピッチ × $\frac{1}{2}$
金属・水反応における酸化係数	1.0
下部プレナム・フラッシング終了時刻	22.0 秒

出力減衰曲線

Fig. 6

冷却材温度

Fig. 7

炉心スプレー開始までの燃料棒、チャンネル・ボックスの熱伝達係数 Fig. 8 参照

次に、A, B, ……, F 6 個の因子の実際に入力する値を決定する。なお、これから計算はすべて、原研に設置されている FACOM 230-75 システムの端末装置 TSS (Time Sharing System) の CPS (Conversational Programming System) を使用したバッチ処理で行った。

一組の実験に 96 通りの組合せがある。そして各因子は水準の区間内でランダムな値をとらなければならない。乱数は、FACOM の SSL に用意されているサブルーチン RANDOM を使用し、また入力データ作成用に作ったプログラム SETUP を 1 回実行させることによって、96 個の MOXY-EM 用の入力データがディスク・ファイルに登録される。プログラム SETUP の入力データは先に決定した 6 行 96 列のわりつけ表そのものである。実験第 1 組と第 2 組とはわりつけ表が同じであるが、サブルーチン RANDOM を呼ぶときの初期値を変更することによって異なる入力データが得られる。

ここで、因子 F (炉心スプレー中の熱伝達係数) の入力データは他の因子と性質を異にしている。すなわち、F は MOXY-EM コードの中では EM モデルの定数としてサブルーチン GEHT で与えている。MOXY-EM の入力仕様を変更するには、かなりの作業量を必要とするので、この F の値がその都度変更できるように MAIN プログラムとサブルーチン GEHT を改造した。

また、出力リストは、後の解析に必要なデータのみ入力に応じて出力が行われるような処置を行った。これらの入力データの作成は、以上のことからをも含めて、すべてプログラム SETUP で行っている。

以上のようにして作られた入力データで、MOXY-EM コードによる計算を実行し数値実験を行った。

尚、MOXY-EM コード 1 回の実行時間は、CPU Time にして約 10 分であった。各組の実験についての計算結果とそれぞれの因子の入力データを Table 9, 10, 11 に示す。

Table 1
BWR・LOCA の統計的研究のために選んだ変数とその仮定した変動範囲

変 数 (因 子)		変動範囲	水準数
記 号	内 容		
A	炉心スプレー定格流量到達時刻	35.0 ~ 45.0 (秒)	2
B	被覆管破裂温度	1200.0 ~ 2000.0 (°F)	4
C	山内の式で計算されたチャンネルボックス濡れ時刻からの遅れ	0.0 ~ 60.0 (秒)	2
D	ギャップ熱伝達係数初期値 ^{a)}	690 ~ 2060 (Btu/hr·ft ² ·°F)	4
E	再冠水時刻 ^{b)}	114.0 ~ 174.0 (秒)	6
F	炉心スプレー冷却による HTC	3.0 ~ 6.2 (Btu/hr·ft ² ·°F)	4

- a) 定格運転時の値である。
 b) 軸方向最大出力点(計算点)が再冠水によって水面下になる時刻である。

Table 2 各因子の水準設定

因子 \ 水準	1	2	3	4	5	6
A	$35 \leq A_1 < 40$	$40 \leq A_2 < 45$				
B	$1200 < B_1 \leq 1400$	$B_2 \leq 1600$	$B_3 \leq 1800$	$B_4 \leq 2000$		
C	$0 \leq C_1 < 30$	$C_2 \leq 60$				
D	$2060 > D_1 \geq 1355$	$D_2 \geq 1017$	$D_3 \geq 820$	$D_4 \geq 690$		
E	$114 \leq E_1 < 124$	$E_2 \leq 134$	$E_3 \leq 144$	$E_4 \leq 154$	$E_5 \leq 164$	$E_6 \leq 174$
F	$3.0 \leq F_1 \leq 3.8$	$F_2 \leq 4.6$	$F_3 \leq 5.4$	$F_4 \leq 6.2$		

Table 3 各要因の自由度

要 因	水準数	自由度
A	2	1
B	4	3
C	2	1
D	4	3
E	6	5
F	4	3
$A \times B$		3
$A \times C$		1
$A \times D$		3
$A \times E$		5
$A \times F$		3
$B \times C$		3
$B \times D$		9
$B \times E$		15
$B \times F$		9
$C \times D$		3
$C \times E$		5
$C \times F$		3
$D \times E$		15
$D \times F$		9
$E \times F$		15
合 計		118

Table 4 表 4 直交表 L₆⁴

Table 5 2 列 間 の 交 互 作 用

<img alt="Figure 5: Linear graph showing nodes 1 through 63 connected by edges. The graph consists of several clusters of nodes. A central cluster contains nodes 1, 2, 3, 4, 5, 6, 7, 8, 9, 10, 11, 12, 13, 14, 15, 16, 17, 18, 19, 20, 21, 22, 23, 24, 25, 26, 27, 28, 29, 30, 31, 32, 33, 34, 35, 36, 37, 38, 39, 40, 41, 42, 43, 44, 45, 46, 47, 48, 49, 50, 51, 52, 53, 54, 55, 56, 57, 58, 59, 60, 61, 62, 63. Other clusters include nodes 10-15, 16-20, 21-25, 26-30, 31-35, 36-40, 41-45, 46-50, 51-55, 56-60, 61-65, 66-70, 71-75, 76-80, 81-85, 86-90, 91-95, 96-100, 101-105, 106-110, 111-115, 116-120, 121-125, 126-130, 131-135, 136-140, 141-145, 146-150, 151-155, 156-160, 161-165, 166-170, 171-175, 176-180, 181-185, 186-190, 191-195, 196-200, 201-205, 206-210, 211-215, 216-220, 221-225, 226-230, 231-235, 236-240, 241-245, 246-250, 251-255, 256-260, 261-265, 266-270, 271-275, 276-280, 281-285, 286-290, 291-295, 296-300, 301-305, 306-310, 311-315, 316-320, 321-325, 326-330, 331-335, 336-340, 341-345, 346-350, 351-355, 356-360, 361-365, 366-370, 371-375, 376-380, 381-385, 386-390, 391-395, 396-400, 401-405, 406-410, 411-415, 416-420, 421-425, 426-430, 431-435, 436-440, 441-445, 446-450, 451-455, 456-460, 461-465, 466-470, 471-475, 476-480, 481-485, 486-490, 491-495, 496-500, 501-505, 506-510, 511-515, 516-520, 521-525, 526-530, 531-535, 536-540, 541-545, 546-550, 551-555, 556-560, 561-565, 566-570, 571-575, 576-580, 581-585, 586-590, 591-595, 596-600, 601-605, 606-610, 611-615, 616-620, 621-625, 626-630, 631-635, 636-640, 641-645, 646-650, 651-655, 656-660, 661-665, 666-670, 671-675, 676-680, 681-685, 686-690, 691-695, 696-700, 701-705, 706-710, 711-715, 716-720, 721-725, 726-730, 731-735, 736-740, 741-745, 746-750, 751-755, 756-760, 761-765, 766-770, 771-775, 776-780, 781-785, 786-790, 791-795, 796-800, 801-805, 806-810, 811-815, 816-820, 821-825, 826-830, 831-835, 836-840, 841-845, 846-850, 851-855, 856-860, 861-865, 866-870, 871-875, 876-880, 881-885, 886-890, 891-895, 896-900, 901-905, 906-910, 911-915, 916-920, 921-925, 926-930, 931-935, 936-940, 941-945, 946-950, 951-955, 956-960, 961-965, 966-970, 971-975, 976-980, 981-985, 986-990, 991-995, 996-1000, 1001-1005, 1006-1010, 1011-1015, 1016-1020, 1021-1025, 1026-1030, 1031-1035, 1036-1040, 1041-1045, 1046-1050, 1051-1055, 1056-1060, 1061-1065, 1066-1070, 1071-1075, 1076-1080, 1081-1085, 1086-1090, 1091-1095, 1096-1100, 1101-1105, 1106-1110, 1111-1115, 1116-1120, 1121-1125, 1126-1130, 1131-1135, 1136-1140, 1141-1145, 1146-1150, 1151-1155, 1156-1160, 1161-1165, 1166-1170, 1171-1175, 1176-1180, 1181-1185, 1186-1190, 1191-1195, 1196-1200, 1201-1205, 1206-1210, 1211-1215, 1216-1220, 1221-1225, 1226-1230, 1231-1235, 1236-1240, 1241-1245, 1246-1250, 1251-1255, 1256-1260, 1261-1265, 1266-1270, 1271-1275, 1276-1280, 1281-1285, 1286-1290, 1291-1295, 1296-1300, 1301-1305, 1306-1310, 1311-1315, 1316-1320, 1321-1325, 1326-1330, 1331-1335, 1336-1340, 1341-1345, 1346-1350, 1351-1355, 1356-1360, 1361-1365, 1366-1370, 1371-1375, 1376-1380, 1381-1385, 1386-1390, 1391-1395, 1396-1400, 1401-1405, 1406-1410, 1411-1415, 1416-1420, 1421-1425, 1426-1430, 1431-1435, 1436-1440, 1441-1445, 1446-1450, 1451-1455, 1456-1460, 1461-1465, 1466-1470, 1471-1475, 1476-1480, 1481-1485, 1486-1490, 1491-1495, 1496-1500, 1501-1505, 1506-1510, 1511-1515, 1516-1520, 1521-1525, 1526-1530, 1531-1535, 1536-1540, 1541-1545, 1546-1550, 1551-1555, 1556-1560, 1561-1565, 1566-1570, 1571-1575, 1576-1580, 1581-1585, 1586-1590, 1591-1595, 1596-1600, 1601-1605, 1606-1610, 1611-1615, 1616-1620, 1621-1625, 1626-1630, 1631-1635, 1636-1640, 1641-1645, 1646-1650, 1651-1655, 1656-1660, 1661-1665, 1666-1670, 1671-1675, 1676-1680, 1681-1685, 1686-1690, 1691-1695, 1696-1700, 1701-1705, 1706-1710, 1711-1715, 1716-1720, 1721-1725, 1726-1730, 1731-1735, 1736-1740, 1741-1745, 1746-1750, 1751-1755, 1756-1760, 1761-1765, 1766-1770, 1771-1775, 1776-1780, 1781-1785, 1786-1790, 1791-1795, 1796-1800, 1801-1805, 1806-1810, 1811-1815, 1816-1820, 1821-1825, 1826-1830, 1831-1835, 1836-1840, 1841-1845, 1846-1850, 1851-1855, 1856-1860, 1861-1865, 1866-1870, 1871-1875, 1876-1880, 1881-1885, 1886-1890, 1891-1895, 1896-1900, 1901-1905, 1906-1910, 1911-1915, 1916-1920, 1921-1925, 1926-1930, 1931-1935, 1936-1940, 1941-1945, 1946-1950, 1951-1955, 1956-1960, 1961-1965, 1966-1970, 1971-1975, 1976-1980, 1981-1985, 1986-1990, 1991-1995, 1996-2000, 2001-2005, 2006-2010, 2011-2015, 2016-2020, 2021-2025, 2026-2030, 2031-2035, 2036-2040, 2041-2045, 2046-2050, 2051-2055, 2056-2060, 2061-2065, 2066-2070, 2071-2075, 2076-2080, 2081-2085, 2086-2090, 2091-2095, 2096-2100, 2101-2105, 2106-2110, 2111-2115, 2116-2120, 2121-2125, 2126-2130, 2131-2135, 2136-2140, 2141-2145, 2146-2150, 2151-2155, 2156-2160, 2161-2165, 2166-2170, 2171-2175, 2176-2180, 2181-2185, 2186-2190, 2191-2195, 2196-2200, 2201-2205, 2206-2210, 2207-2215, 2208-2220, 2209-2230, 2211-2225, 2212-2235, 2213-2245, 2214-2255, 2215-2265, 2216-2275, 2217-2285, 2218-2295, 2219-2305, 2220-2315, 2221-2325, 2222-2335, 2223-2345, 2224-2355, 2225-2365, 2226-2375, 2227-2385, 2228-2395, 2229-2405, 2230-2415, 2231-2425, 2232-2435, 2233-2445, 2234-2455, 2235-2465, 2236-2475, 2237-2485, 2238-2495, 2239-2505, 2240-2515, 2241-2525, 2242-2535, 2243-2545, 2244-2555, 2245-2565, 2246-2575, 2247-2585, 2248-2595, 2249-2605, 2250-2615, 2251-2625, 2252-2635, 2253-2645, 2254-2655, 2255-2665, 2256-2675, 2257-2685, 2258-2695, 2259-2705, 2260-2715, 2261-2725, 2262-2735, 2263-2745, 2264-2755, 2265-2765, 2266-2775, 2267-2785, 2268-2795, 2269-2805, 2270-2815, 2271-2825, 2272-2835, 2273-2845, 2274-2855, 2275-2865, 2276-2875, 2277-2885, 2278-2895, 2279-2905, 2280-2915, 2281-2925, 2282-2935, 2283-2945, 2284-2955, 2285-2965, 2286-2975, 2287-2985, 2288-2995, 2289-3005, 2290-3015, 2291-3025, 2292-3035, 2293-3045, 2294-3055, 2295-3065, 2296-3075, 2297-3085, 2298-3095, 2299-3105, 2300-3115, 2301-3125, 2302-3135, 2303-3145, 2304-3155, 2305-3165, 2306-3175, 2307-3185, 2308-3195, 2309-3205, 2310-3215, 2311-3225, 2312-3235, 2313-3245, 2314-3255, 2315-3265, 2316-3275, 2317-3285, 2318-3295, 2319-3305, 2320-3315, 2321-3325, 2322-3335, 2323-3345, 2324-3355, 2325-3365, 2326-3375, 2327-3385, 2328-3395, 2329-3405, 2330-3415, 2331-3425, 2332-3435, 2333-3445, 2334-3455, 2335-3465, 2336-3475, 2337-3485, 2338-3495, 2339-3505, 2340-3515, 2341-3525, 2342-3535, 2343-3545, 2344-3555, 2345-3565, 2346-3575, 2347-3585, 2348-3595, 2349-3605, 2350-3615, 2351-3625, 2352-3635, 2353-3645, 2354-3655, 2355-3665, 2356-3675, 2357-3685, 2358-3695, 2359-3705, 2360-3715, 2361-3725, 2362-3735, 2363-3745, 2364-3755, 2365-3765, 2366-3775, 2367-3785, 2368-3795, 2369-3805, 2370-3815, 2371-3825, 2372-3835, 2373-3845, 2374-3855, 2375-3865, 2376-3875, 2377-3885, 2378-3895, 2379-3905, 2380-3915, 2381-3925, 2382-3935, 2383-3945, 2384-3955, 2385-3965, 2386-3975, 2387-3985, 2388-3995, 2389-4005, 2390-4015, 2391-4025, 2392-4035, 2393-4045, 2394-4055, 2395-4065, 2396-4075, 2397-4085, 2398-4095, 2399-4105, 2400-4115, 2401-4125, 2402-4135, 2403-4145, 2404-4155, 2405-4165, 2406-4175, 2407-4185, 2408-4195, 2409-4205, 2410-4215, 2411-4225, 2412-4235, 2413-4245, 2414-4255, 2415-4265, 2416-4275, 2417-4285, 2418-4295, 2419-4305, 2420-4315, 2421-4325, 2422-4335, 2423-4345, 2424-4355, 2425-4365, 2426-4375, 2427-4385, 2428-4395, 2429-4405, 2430-4415, 2431-4425, 2432-4435, 2433-4445, 2434-4455, 2435-4465, 2436-4475, 2437-4485, 2438-4495, 2439-4505, 2440-4515, 2441-4525, 2442-4535, 2443-4545, 2444-4555, 2445-4565, 2446-4575, 2447-4585, 2448-4595, 2449-4605, 2450-4615, 2451-4625, 2452-4635, 2453-4645, 2454-4655, 2455-4665, 2456-4675, 2457-4685, 2458-4695, 2459-4705, 2460-4715, 2461-4725, 2462-4735, 2463-4745, 2464-4755, 2465-4765, 2466-4775, 2467-4785, 2468-4795, 2469-4805, 2470-4815, 2471-4825, 2472-4835, 2473-4845, 2474-4855, 2475-4865, 2476-4875, 2477-4885, 2478-4895, 2479-4905, 2480-4915, 2481-4925, 2482-4935, 2483-4945, 2484-4955, 2485-4965, 2486-4975, 2487-4985, 2488-4995, 2489-5005, 2490-5015, 2491-5025, 2492-5035, 2493-5045, 2494-5055, 2495-5065, 2496-5075, 2497-5085, 2498-5095, 2499-5105, 2500-5115, 2501-5125, 2502-5135, 2503-5145, 2504-5155, 2505-5165, 2506-5175, 2507-5185, 2508-5195, 2509-5205, 2510-5215, 2511-5225, 2512-5235, 2513-5245, 2514-5255, 2515-5265, 2516-5275, 2517-5285, 2518-5295, 2519-5305, 2520-5315, 2521-5325, 2522-5335, 2523-5345, 2524-5355, 2525-5365, 2526-5375, 2527-5385, 2528-5395, 2529-5405, 2530-5415, 2531-5425, 2532-5435, 2533-5445, 2534-5455, 2535-5465, 2536-5475, 2537-5485, 2538-5495, 2539-5505, 2540-5515, 2541-5525, 2542-5535, 2543-5545, 2544-5555, 2545-5565, 2546-5575, 2547-5585, 2548-5595, 2549-5605, 2550-5615, 2551-5625, 2552-5635, 2553-5645, 2554-5655, 2555-5665, 2556-5675, 2557-5685, 2558-5695, 2559-5705, 2560-5715, 2561-5725, 2562-5735, 2563-5745, 2564-5755, 2565-5765, 2566-5775, 2567-5785, 2568-5795, 2569-5805, 2570-5815, 2571-5825, 2572-5835, 2573-5845, 2574-5855, 2575-5865, 2576-5875, 2577-5885, 2578-5895, 2579-5905, 2580-5915, 2581-5925, 2582-5935, 2583-5945, 2584-5955, 2585-5965, 2586-5975, 2587-5985, 2588-5995, 2589-6005, 2590-6015, 2591-6025, 2592-6035, 2593-6045, 2594-6055, 2595-6065, 2596-6075, 2597-6085, 2598-6095, 2599-6105, 2600-6115, 2601-6125, 2602-6135, 2603-6145, 2604-6155, 2605-6165, 2606-6175, 2607-6185, 2608-6195, 2609-6205, 2610-6215, 2611-6225, 2612-6235, 2613-6245, 2614-6255, 2615-6265, 2616-6275, 2617-6285, 2618-6295, 2619-6305, 2620-6315, 2621-6325, 2622-6335, 2623-6345, 2624-6355, 2625-6365, 2626-6375, 2627-6385, 2628-6395, 2629-6405, 2630-6415, 2631-6425, 2632-6435, 2633-6445, 2634-6455, 2635-6465, 2636-6475, 2637-6485, 2638-6495, 2639-6505, 2640-6515, 2641-6525, 2642-6535, 2643-6545, 2644-6555, 2645-6565, 2646-6575, 2647-6585, 2648-6595, 2649-6605, 2650-6615, 2651-6625, 2652-6635, 2653-6645, 2654-6655, 2655-6665, 2656-6675, 2657-6685, 2658-6695, 2659-6705, 2660-6715, 2661-6725, 2662-6735, 2663-6745, 2664-6755, 2665-6765, 2666-6775, 2667-6785, 2668-6795, 2669-6805, 2670-6815, 2671-6825, 2672-6835, 2673-6845, 2674-6855, 2675-6865, 2676-6875, 2677-6885, 2678-6895, 2679-6905, 2680-6915, 2681-6925, 2682-6935, 2683-6945, 2684-6955, 2685-6965, 2686-6975, 2687-6985, 2688-6995, 2689-7005, 2690-7015, 2691-7025, 2692-7035, 2693-7045, 2694-7055, 2695-7065, 2696-7075, 2697-7085, 2698-7095, 2699-7105, 2700-7115, 2701-7125, 2702-7135, 2703-7145, 2704-7155, 2705-7165, 2706-7175, 2707-7185, 2708-7195, 2709-7205, 2710-7215, 2711-7225, 2712-7235, 2713-7245, 2714-7255, 2715-7265, 2716-7275, 2717-7285, 2718-7295, 2719-7305, 2720-7315, 2721-7325, 2722-7335, 2723-7345, 2724-7355, 2725-7365, 2726-7375, 2727-7385, 2728-7395, 2729-7405, 2730-7415, 2731-7425, 2732-7435, 2733-7445, 2734-7455, 2735-7465, 2736-7475, 2737-7485, 2738-7495, 2739-7505, 2740-7515, 2741-7525, 2742-7535, 2743-7545, 2744-7555, 2745-7565, 2746-7575, 2747-7585, 2748-7595, 2749-7605, 2750-7615, 2751-7625, 2752-7635, 2753-7645, 2754-7655, 2755-7665, 2756-7675, 2757-7685, 2758-7695, 2759-7705, 2760-7715, 2761-7725, 2762-7735, 2763-7745, 2764-7755, 2765-7765, 2766-7775, 2767-7785, 2768-7795, 2769-7805, 2770-7815, 2771-7825, 2772-7835, 2773-7845, 2774-7855, 2775-7865, 2776-7875, 2777-7885, 2778-7895, 2779-7905, 2780-7915, 2781-7925, 2782-7935, 2783-7945, 2784-7955, 2785-7965, 2786-7975, 2787-7985, 2788-7995, 2789-8005, 2790-8015, 2791-8025, 2792-8035, 2793-8045, 2794-8055, 2795-8065, 2796-8075, 2797-8085, 2798-8095, 2799-8105, 2800-8115, 2801-8125, 2802-8135, 2803-8145, 2804-8155, 2805-8165, 2806-8175, 2807-8185, 2808-8195, 2809-8205, 2810-8215, 2811-8225, 2812-8235, 2813-8245, 2814-8255, 2815-8265, 2816-8275, 2817-8285, 2818-8295, 2819-8305, 2820-8315, 2821-8325, 2822-8335, 2823-8345, 2824-8355, 2825-8365, 2826-8375, 2827-8385, 2828-8395, 2829-8405, 2830-8415, 2831-8425, 2832-8435, 2833-8445, 2834-8455, 2835-8465, 2836-8475, 2837-8485, 2838-8495, 2839-8505, 2840-8515, 2841-8525, 2842-8535, 2843-8545, 2844-8555, 2845-8565, 2846-8575, 2847-8585, 2848-8595, 2849-8605, 2850-8615, 2851-8625, 2852-8635, 2853-8645, 2854-8655, 2855-8665, 2856-8675, 2857-8685, 2858-8695, 2859-8705, 2860-8715, 2861-8725, 2862-8735, 2863-8745, 2864-8755, 2865-8765, 2866-8775, 2867-8785, 2868-8795, 2869-8805, 2870-8815, 2871-8825, 2872-8835, 2873-8845, 2874-8855, 2875-8865, 2876-8875, 2877-8885, 2878-8895, 2879-8905, 2880-8915, 2881-8925, 2882-8935, 2883-8945, 2884-8955, 2885-8965, 2886-8975, 2887-8985, 2888-8995, 2889-9005, 2890-9015, 2891-9025, 2892-9035, 2893-9045, 2894-9055, 2895-9065, 2896-9075, 2897-9085, 2898-9095, 2899-9105, 2900-9115, 2901-9125, 2902-9135, 2903-9145, 2904-9155

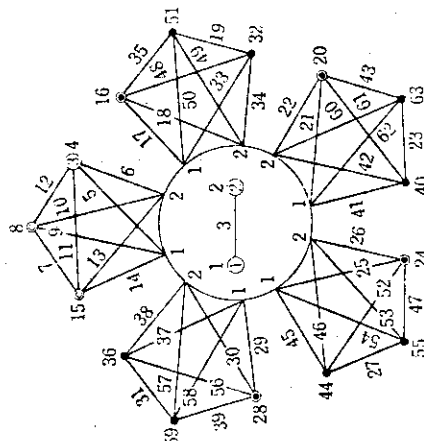


Fig. 5 Linear graph

Table 6 各実験における水準わりつけ

因 子	直交表の 数 字	水 準 わ り つ け	
		実験第 1, 2 組	実験第 3 組
A	1	A 2	A 1
	2	A 1	A 2
B	1	B 2	B 3
	2	B 1	B 4
	3	B 4	B 1
	4	B 3	B 2
C	1	C 2	C 2
	2	C 1	C 1
D	1	D 2	D 2
	2	D 3	D 1
	3	D 4	D 4
	4	D 1	D 3
E	1	E 2	E 3
	2	E 6	E 4
	3	E 4	E 2
	4	E 1	E 6
	5	E 3	E 1
	6	E 5	E 5
F	1	F 1	F 2
	2	F 3	F 3
	3	F 4	F 1
	4	F 2	F 4

Table 7 直交表を用いた実験計画法による水準わりつけ表（実験第1，2組）

因子 計算No	水 準						因子 計算No	水 準					
	A	B	C	D	E	F		A	B	C	D	E	F
1	2	2	2	2	2	1	49	2	3	2	2	1	1
2	2	1	2	3	2	3	50	2	1	2	3	1	3
3	2	4	1	4	2	4	51	2	4	1	4	1	4
4	2	3	1	1	2	2	52	2	3	1	1	1	2
5	1	2	1	3	2	2	53	1	2	1	3	1	2
6	1	1	1	2	2	4	54	1	1	1	2	1	4
7	1	4	2	1	2	3	55	1	4	2	1	1	3
8	1	3	2	4	2	1	56	1	3	2	4	1	1
9	1	2	1	4	2	3	57	1	2	1	4	1	3
10	1	1	1	1	2	1	58	1	1	1	1	1	1
11	1	4	2	2	2	2	59	1	4	2	2	1	2
12	1	3	2	3	2	4	60	1	3	2	3	1	4
13	2	2	2	1	2	4	61	2	2	2	1	1	4
14	2	1	2	4	2	2	62	2	1	2	4	1	2
15	2	4	1	3	2	1	63	2	4	1	3	1	1
16	2	3	1	2	2	3	64	2	3	1	2	1	3
17	1	2	2	2	6	1	65	1	2	2	2	3	1
18	1	1	2	3	6	3	66	1	1	2	3	3	3
19	1	4	1	4	6	4	67	1	4	1	4	3	4
20	1	3	1	1	6	2	68	1	3	1	1	3	2
21	2	2	1	3	6	2	69	2	2	1	3	3	2
22	2	1	1	2	6	4	70	2	1	1	2	3	4
23	2	4	2	1	6	3	71	2	4	2	1	3	3
24	2	3	2	4	6	1	72	2	3	2	4	3	1
25	2	2	1	4	6	3	73	2	2	1	4	3	3
26	2	1	1	1	6	1	74	2	1	1	1	3	1
27	2	4	2	2	6	2	75	2	4	2	2	3	2
28	2	3	2	3	6	4	76	2	3	2	3	3	4
29	1	2	2	1	6	4	77	1	2	2	1	3	4
30	1	1	2	4	6	2	78	1	1	2	4	3	2
31	1	4	1	3	6	1	79	1	4	1	3	3	1
32	1	3	1	2	6	3	80	1	3	1	2	3	3
33	1	2	2	2	4	1	81	2	2	2	2	5	1
34	1	1	2	3	4	3	82	2	1	2	3	5	3
35	1	4	1	4	4	4	83	2	4	1	4	5	4
36	1	3	1	1	4	2	84	2	3	1	1	5	2
37	2	2	1	3	4	2	85	1	2	1	3	5	2
38	2	1	1	2	4	4	86	1	1	1	2	5	4
39	2	4	2	1	4	3	87	1	4	2	1	5	3
40	2	3	2	4	4	1	88	1	3	2	4	5	1
41	2	2	1	4	4	3	89	1	2	1	4	5	3
42	2	1	1	1	4	1	90	1	1	1	1	5	1
43	2	4	2	2	4	2	91	1	4	2	2	5	2
44	2	3	2	3	4	4	92	1	3	2	3	5	4
45	1	2	2	1	4	4	93	2	2	2	1	5	4
46	1	1	2	4	4	2	94	2	1	2	4	5	2
47	1	4	1	3	4	1	95	2	4	1	3	5	1
48	1	3	1	2	4	3	96	2	3	1	2	5	3

Table 8 各因子の乱数による数値の決定法

因 子	桁 数	第 1 区間の例	乱 数 R
A	2	$35 + 0.05R$	00 ~ 99
B	3	$1200 + 0.2(R+1)$	000 ~ 999
C	2	$0.3R$	00 ~ 99
D	2	$0.0025 + \frac{0.0007}{100}(R+1)$	00 ~ 99
E	2	$114.0 + 0.1R$	00 ~ 99
F	2	$3.0 + 0.008(R+1)$	00 ~ 99

Table. 9 入力と計算結果 (実験第1組)

計算 No.	A		B		C		D		E		F		PCT		COT	
	水 準	(秒)	水 準	(°F)	水 準	(秒)	水 準	(Btu hr·ft ² ·°F)	水 準	(秒)	水 準	(Btu hr·ft ² ·°F)	(°F)	PCT	COT	
1	2	41.95	2	1433.4	2	35.4	2	1177.22	2	132.5	1	3.656	1809.9	0.34656		
2	2	44.50	1	1297.4	2	38.7	3	976.27	2	127.5	3	5.224	1758.3	0.29562		
3	2	44.55	4	1985.8	4	2.7	4	752.72	2	129.0	4	5.960	1892.2	0.34745		
4	2	40.80	3	1686.4	1	14.7	1	1624.50	2	127.4	2	4.416	1681.7	0.21866		
5	1	39.70	2	1413.6	1	29.1	3	852.52	2	129.2	2	4.376	1843.0	0.39896		
6	1	35.35	1	1211.2	1	15.9	2	1187.50	2	126.3	4	6.072	1671.9	0.20490		
7	1	39.55	4	1949.0	2	21.3	1	2039.03	2	126.1	3	5.336	1758.7	0.16536		
8	1	36.85	3	1626.0	2	48.0	4	715.73	2	131.0	1	3.264	1894.9	0.60082		
9	1	39.45	2	1548.4	1	24.3	4	765.99	2	129.1	3	5.360	1830.7	0.39486		
10	1	37.25	1	1330.2	1	15.3	1	1976.75	2	133.8	1	3.168	1737.6	0.26566		
11	1	37.85	4	1893.6	2	42.0	2	1104.26	2	133.9	2	3.872	1626.2	0.32029		
12	1	36.55	3	1668.0	2	21.3	3	903.30	2	133.6	4	5.472	1786.5	0.35023		
13	2	41.35	2	1591.4	2	36.6	1	1662.07	2	132.5	4	5.608	1674.6	0.22083		
14	2	42.90	1	1309.0	2	37.5	4	704.26	2	125.4	2	3.944	1910.9	0.51387		
15	2	44.60	4	1973.8	1	19.8	3	862.88	2	132.8	1	3.792	1973.8	0.41198		
16	2	42.50	3	1647.2	1	25.2	2	1147.48	2	130.5	3	4.864	1735.6	0.28688		
17	1	35.40	2	1497.6	2	51.6	2	1234.34	6	169.5	1	3.344	2038.8	0.91477		
18	1	39.80	1	1202.0	2	53.4	3	895.65	6	166.3	3	4.616	2038.7	0.94794		
19	1	39.85	4	1944.6	1	0.9	4	755.33	6	173.0	4	5.704	1946.3	0.87549		
20	1	37.30	3	1617.4	1	0.6	1	1568.71	6	166.8	2	4.064	1940.7	0.63112		
21	2	41.85	2	1421.4	1	25.2	3	972.21	6	170.4	2	3.992	2062.6	1.02859		
22	2	40.65	1	1263.8	1	3.6	2	1032.45	6	171.8	4	6.192	1957.1	0.71856		
23	2	43.70	4	1960.2	2	30.9	1	1947.07	6	164.7	3	4.632	1960.2	0.44524		
24	2	43.65	3	1634.2	2	38.1	4	751.42	6	167.8	1	3.280	2143.5	1.3631		
25	2	40.75	2	1517.4	1	2.7	4	760.62	6	165.4	3	4.960	2044.4	0.98805		
26	2	43.10	1	1348.6	1	8.4	1	1469.99	6	167.1	1	3.304	2013.3	0.81950		
27	2	41.35	4	1975.6	2	25.1	2	1027.34	6	168.1	2	4.400	1982.4	0.77707		
28	2	44.05	3	1751.2	2	48.3	3	827.75	6	168.6	4	5.936	1989.6	0.83631		
29	1	37.20	2	1540.0	2	30.3	1	1837.05	6	164.7	4	6.072	1822.0	0.40362		
30	1	39.65	1	1311.4	2	39.0	4	709.94	6	167.4	2	4.160	2118.8	1.28407		
31	1	37.90	4	1943.8	1	29.4	3	948.02	6	173.4	1	3.216	2083.2	1.10192		
32	1	36.15	3	1623.8	1	1.8	2	1075.37	6	164.6	3	5.048	1939.5	0.64826		
33	1	36.30	2	1443.4	2	33.0	2	1042.84	4	148.5	1	3.144	1962.1	0.64787		
34	1	37.95	1	1206.2	2	36.0	3	840.77	4	147.9	3	4.984	1937.0	0.61336		
35	1	36.35	4	1820.8	1	29.7	4	763.29	4	150.8	4	5.696	1914.1	0.60635		
36	1	37.55	3	1704.6	1	19.5	1	1486.45	4	151.0	2	4.040	1803.1	0.43147		
37	2	43.20	2	1582.6	1	27.0	3	865.39	4	147.2	2	4.000	1967.2	0.68237		
38	2	40.65	1	1287.6	1	29.7	2	1104.26	4	153.8	4	5.992	1865.0	0.46787		
39	2	42.95	4	1960.6	2	51.6	1	1631.20	4	150.7	3	5.272	1920.2	0.35282		
40	2	40.95	3	1650.0	2	42.0	4	736.19	4	152.9	1	3.120	2076.1	1.03651		
41	2	43.00	2	1511.8	1	27.9	3	953.36	4	150.8	3	5.248	1995.9	0.79976		
42	2	40.30	1	1210.4	1	21.3	1	2017.82	4	150.5	1	3.400	1870.5	0.44205		
43	2	41.75	4	1917.8	2	50.4	2	1040.22	4	153.2	2	4.144	1926.9	0.60185		
44	2	43.85	3	1713.8	2	40.2	3	983.65	4	145.5	4	5.704	1841.1	0.44155		
45	1	35.80	2	1585.6	2	51.3	1	1422.81	4	149.7	4	5.904	1766.7	0.32845		

Table. 9
統一)
(統

46	1	39.60	1	1228.8	2	40.8	4	722.61	2	3.824	2005.0
47	1	39.85	4	1846.8	1	12.0	3	837.47	1	3.752	1963.9
48	1	38.90	3	1750.4	1	14.1	2	1293.43	3	4.824	1797.6
49	2	41.75	2	1558.4	2	52.8	2	1092.53	1	4.443	114.0
50	2	41.10	1	1397.4	2	59.4	3	915.04	1	116.7	3.400
51	2	42.40	4	1902.0	1	12.3	4	722.81	1	116.9	5.080
52	2	43.70	3	1614.4	1	25.2	1	1743.62	1	114.2	3.888
53	1	35.90	2	1584.8	1	18.0	3	849.12	1	114.0	3.944
54	1	37.40	1	1370.8	1	17.7	2	1318.76	1	116.8	4.800
55	1	39.45	4	1838.2	2	36.6	1	1544.25	1	118.5	5.192
56	1	35.95	3	1760.4	2	43.3	4	746.86	1	120.6	3.112
57	1	38.40	2	1419.0	1	23.1	4	760.62	1	119.9	4.960
58	1	36.15	1	1203.2	1	6.3	1	1762.65	1	118.4	1.972
59	1	36.20	4	1809.4	2	40.8	2	1027.34	1	123.7	2.272
60	1	38.15	3	1642.8	2	39.9	3	901.37	1	118.7	4.272
61	2	44.40	2	1416.0	2	53.1	1	1464.58	1	121.9	4.464
62	2	40.00	1	1349.2	2	56.1	4	693.18	1	116.8	4.072
63	2	42.70	4	1970.6	1	10.8	3	829.36	1	122.6	3.352
64	2	42.95	3	1716.2	1	15.3	2	1331.83	1	123.8	3.328
65	1	38.95	2	1529.8	2	33.9	2	1273.10	3	140.2	1.664
66	1	36.45	1	1263.4	2	47.1	3	852.52	3	137.2	3.264
67	1	39.05	4	1875.8	1	21.6	4	705.39	3	135.5	4.440
68	1	38.00	3	1634.8	1	0.0	1	1412.76	3	140.9	2.952
69	2	42.15	2	1515.2	1	11.4	3	832.58	3	135.2	4.192
70	2	43.20	1	1200.2	1	10.8	2	1137.92	3	134.9	5.976
71	2	40.40	4	1880.0	2	59.4	1	1369.29	3	142.5	4.760
72	2	40.85	3	1653.4	2	54.9	4	713.40	3	135.5	3.616
73	2	44.20	2	1526.6	1	0.9	4	784.02	3	136.9	5.264
74	2	42.85	1	1214.0	1	7.2	1	1986.85	3	135.1	1.240
75	2	41.90	4	1937.4	2	49.8	2	1141.09	3	134.0	2.328
76	2	44.15	3	1626.4	2	30.9	3	895.65	3	142.6	4.320
77	1	35.10	2	1518.6	2	48.6	1	1687.01	3	135.6	4.888
78	1	37.95	1	1359.6	2	37.5	4	1687.01	3	143.0	4.464
79	1	38.55	4	1802.4	1	8.4	3	835.83	3	140.1	1.168
80	1	35.50	3	1608.0	1	18.0	2	1027.34	3	137.6	5.320
81	2	40.05	2	11445.4	2	49.5	2	1086.71	5	161.6	4.128
82	2	41.50	1	1291.2	2	42.0	3	945.88	5	163.8	5.072
83	2	40.50	4	1829.6	1	10.8	4	779.78	5	161.0	4.888
84	2	42.55	3	1653.2	1	17.7	1	1476.21	5	155.5	4.600
85	1	39.15	2	1461.8	1	19.8	3	915.04	5	155.1	2.488
86	1	35.15	1	1263.4	1	21.6	2	1128.52	5	162.8	4.072
87	1	38.00	4	1973.8	2	42.9	1	1393.09	5	157.0	3.112
88	1	37.85	3	1616.2	2	30.0	4	720.43	5	161.8	3.384
89	1	37.50	2	1522.2	1	5.1	4	704.26	5	156.2	3.896
90	1	37.45	1	1330.8	2	6.9	1	1509.02	5	152.1	1.696
91	1	36.00	4	1989.0	2	30.3	1	1289.31	5	158.4	2.856
92	1	39.05	3	1751.4	2	55.8	3	877.12	5	161.5	4.888
93	2	40.20	2	1581.0	1	21.0	1	1837.05	5	155.3	4.936
94	2	40.70	1	1347.6	2	58.8	4	763.29	5	156.0	2.4552
95	2	44.70	4	1829.8	1	18.6	3	967.72	5	155.2	1.544
96	2	43.75	3	1713.6	1	6.0	2	1230.60	5	160.0	3.144

Table. 10 入力と計算結果(実験第2組)

計算 No	A		B		C		D		E		F		PCT		COT	
	水 準	(秒)	水 準	(°F)	水 準	(秒)	水 準	(Btu hr ft ² °F)	水 準	(秒)	水 準	(Btu hr ft ² °F)	(°F)	(mil)		
1	2	42.70	2	1579.0	2	57.6	2	1261.21	2	127.6	1	3.512	1755.1	0.29124		
2	2	42.70	1	1306.0	2	46.5	3	564.63	2	133.1	3	4.944	1655.3	0.42363		
3	2	42.80	4	1857.2	1	24.9	1	768.70	2	126.8	4	5.456	1657.2	0.37908		
4	2	43.40	3	1665.2	1	6.3	1	1679.82	2	126.8	2	3.848	1700.8	0.22752		
5	1	37.50	2	1469.8	1	26.7	3	845.76	2	132.9	2	4.176	1668.7	0.44416		
6	1	35.85	4	1518.8	1	23.7	2	1350.87	2	126.3	4	6.112	1649.5	0.18208		
7	1	36.95	4	1967.6	2	47.4	1	1407.76	2	129.2	3	4.968	1629.4	0.21769		
8	1	36.85	3	1679.0	2	49.6	4	692.09	2	127.7	1	3.688	1917.9	0.54743		
9	1	39.45	2	1426.2	1	29.1	4	774.20	2	133.0	3	4.840	1828.4	0.46284		
10	1	36.20	4	1286.4	2	1.3	1	1658.62	2	131.7	4	3.432	1734.7	0.26305		
11	1	36.40	4	1846.4	2	55.5	2	1144.28	2	125.8	2	4.496	1638.3	0.23415		
12	1	36.90	3	1601.4	2	59.4	3	1957.72	2	134.9	4	5.468	1760.1	0.31448		
13	2	42.40	2	1553.6	2	45.3	1	1532.31	2	125.6	4	5.928	1636.3	0.18030		
14	2	40.10	1	1213.4	2	35.0	4	1734.95	2	132.2	2	4.120	1929.2	0.56765		
15	2	40.05	4	1998.2	1	27.1	3	939.56	2	126.3	1	3.648	1936.9	0.32300		
16	2	44.95	3	1634.6	1	21.3	2	1113.23	2	126.8	3	5.280	1706.2	0.26600		
17	1	35.24	2	1556.6	2	31.3	2	1042.84	6	168.3	1	3.048	2075.4	1.04780		
18	1	38.85	1	1303.6	2	51.3	3	824.57	6	170.4	3	5.008	2024.1	1.02966		
19	1	36.75	4	1927.6	1	2.1	4	776.98	6	166.2	4	5.040	1948.1	0.73006		
20	1	37.30	3	1764.0	1	19.3	1	1443.38	6	172.5	2	3.864	1981.6	0.76257		
21	2	41.75	2	1538.4	1	25.8	3	1000.16	6	169.0	2	3.824	1997.5	0.97693		
22	2	43.90	1	1363.0	1	20.1	2	1318.76	6	169.1	4	6.104	1912.2	0.58873		
23	2	46.35	4	1938.6	2	46.8	4	1679.82	6	169.2	3	4.904	1928.8	0.52939		
24	2	46.40	3	1654.0	2	46.8	4	784.02	6	172.4	1	3.672	2130.2	1.33182		
25	2	40.90	1	1404.6	1	7.3	4	792.65	4	165.3	3	4.680	2051.3	1.00250		
26	2	41.60	1	1395.6	1	21.9	1	1665.62	6	171.0	1	3.424	1953.3	0.80146		
27	2	44.75	2	1736.6	2	49.5	2	1078.18	6	167.6	2	3.848	2016.0	0.86039		
28	2	40.50	3	1649.0	2	36.8	3	919.03	6	169.4	4	5.512	1986.4	0.80443		
29	1	38.60	2	1459.8	2	33.1	1	1611.58	6	164.9	4	6.024	1832.0	0.44683		
30	1	38.25	1	1204.1	2	46.4	1	736.19	6	165.8	2	4.192	2113.6	1.26099		
31	1	38.80	4	1625.4	1	19.2	3	939.54	6	170.8	1	3.296	2075.0	1.07549		
32	1	39.05	3	1773.6	1	11.7	2	1035.03	6	166.2	3	4.616	1971.3	0.74599		
33	1	37.45	2	1408.2	2	24.0	2	1219.52	4	145.7	3	4.742	1901.7	0.20455		
34	1	35.25	1	1395.4	2	38.4	3	1004.99	4	145.3	3	5.224	1860.8	0.44683		
35	1	36.35	4	1909.4	1	24.0	4	795.58	4	146.3	4	6.026	1909.4	0.46119		
36	1	37.35	3	1632.4	1	25.6	1	1837.05	4	145.5	2	4.184	1761.5	0.33408		
37	2	42.55	2	1554.4	1	15.0	3	927.12	4	145.3	2	3.856	1941.9	0.60987		
38	2	43.95	1	1372.6	1	9.3	2	1215.87	4	153.1	4	5.736	1857.1	0.44984		
39	2	41.25	4	1693.6	2	41.4	1	1619.95	4	151.9	3	5.260	1862.0	0.31045		
40	2	41.80	3	1629.6	2	41.7	4	703.13	4	150.1	1	3.448	2067.7	1.00936		
41	2	40.70	2	1402.6	1	15.9	4	746.27	4	151.4	3	5.176	1980.1	0.74706		
42	2	40.75	1	1341.0	1	15.9	1	1364.64	4	145.0	1	3.352	1833.5	0.46117		
43	2	42.35	4	1662.0	2	50.1	2	1116.25	4	145.5	2	4.008	1882.0	0.48442		
44	2	43.75	3	1770.6	2	52.0	3	929.16	4	152.6	4	5.616	1896.4	0.55916		
45	1	35.75	2	1457.6	2	34.2	1	1520.57	4	151.6	4	5.464	1801.8	0.35624		

老者 Table. 10

卷之三

46	1304.6	2020.2	0.86175
47	1979.4	1979.2	0.55448
48	1658.0	1805.7	0.37448
49	1423.0	1762.8	0.22936
50	44.00	5.152	0.27554
51	43.75	5.646	0.26310
52	40.65	4.952	0.15262
53	37.05	4.600	0.22528
54	36.15	4.116	0.17404
55	36.75	4.122	0.153.6
56	38.30	4.122	0.939.54
57	36.05	4.122	1234.34
58	35.85	4.122	1035.03
59	36.40	4.122	1257.30
60	38.90	4.122	1952.32
61	42.35	4.122	1966.75
62	43.45	4.122	1952.29
63	41.60	4.122	1960.23
64	43.80	4.122	1974.77
65	39.90	4.122	1919.42
66	37.30	4.122	1694.42
67	36.15	4.122	1507.42
68	39.40	4.122	1412.42
69	42.50	4.122	1970.42
70	43.75	4.122	1775.42
71	44.00	4.122	1409.42
72	42.00	4.122	1735.62
73	44.05	4.122	1668.42
74	44.15	4.122	1579.22
75	43.75	4.122	1239.42
76	44.00	4.122	1903.62
77	38.40	4.122	1477.02
78	39.90	4.122	1383.62
79	39.95	4.122	1820.02
80	38.85	4.122	1612.42
81	43.05	4.122	1782.42
82	42.35	4.122	1307.02
83	40.80	4.122	2000.02
84	40.80	4.122	1630.42
85	36.00	4.122	1563.22
86	37.85	4.122	1270.82
87	35.30	4.122	1934.02
88	35.20	4.122	1641.02
89	36.95	4.122	1588.22
90	37.75	4.122	1879.42
91	37.40	4.122	1926.22
92	38.45	4.122	1648.62
93	41.20	4.122	1473.32
94	43.45	4.122	1337.02
95	40.95	4.122	1881.42
96	41.95	4.122	1657.42

Table. 11 入力と計算結果 (実験第3組)

計算 No	A		B		C		D		E		F		PCT		COT	
	水 準	(秒)	水 準	(°F)	水 準	(秒)	水 準	(Btu hr. ft. ² . °F)	水 準	(秒)	水 準	(Btu hr. ft. ² . °F)	(°F)	PCT	COT (mil)	
1	1	36.95	3	1633.4	2	35.4	2	1177.22	3	142.5	2	4.456	1826.5	0.39259		
2	1	39.50	4	1897.4	2	38.7	1	1927.79	3	137.7	3	5.224	1824.5	0.22263		
3	1	39.55	1	1385.8	1	2.7	4	752.72	3	139.0	1	3.560	1920.5	0.67426		
4	1	35.80	2	1466.4	1	14.7	3	905.23	3	137.4	4	6.016	1793.8	0.34892		
5	2	44.70	3	1613.8	1	29.1	1	1453.90	3	139.2	4	5.976	1710.2	0.26705		
6	2	40.35	4	1811.2	1	15.9	2	1187.50	3	136.3	1	3.672	1818.5	0.37216		
7	2	44.55	1	1349.0	2	51.3	3	1012.32	3	136.1	3	5.336	1816.9	0.36738		
8	2	41.85	2	1426.0	2	48.0	4	715.73	3	141.0	2	4.064	1938.3	0.73311		
9	2	44.45	3	1748.4	1	24.3	4	765.99	3	139.1	3	5.360	1891.8	0.53433		
10	2	42.25	4	1930.2	1	15.3	3	997.77	3	143.8	2	3.968	1930.2	0.47884		
11	2	42.85	1	1293.6	2	42.0	2	1104.26	3	143.9	4	5.472	1832.5	0.39670		
12	2	41.55	2	1468.0	2	51.3	1	1617.85	3	143.6	1	3.072	1860.8	0.42158		
13	1	36.35	3	1791.4	2	36.6	3	919.03	3	142.5	1	3.208	1933.3	0.59560		
14	1	37.90	4	1909.0	2	37.5	4	704.26	3	135.4	4	5.544	1909.0	0.47255		
15	1	39.60	1	1373.8	1	19.8	1	1486.45	3	142.8	2	4.592	1793.1	0.33518		
16	1	37.50	2	1447.2	1	25.2	2	1147.48	3	140.5	3	4.864	1612.3	0.36316		
17	2	40.40	3	1697.6	2	51.6	2	1234.34	4	149.5	2	4.144	1883.5	0.49815		
18	2	44.80	4	1802.0	2	53.4	1	1593.99	4	146.3	3	4.616	1805.7	0.36897		
19	2	44.85	1	1344.6	1	0.9	4	755.33	4	153.0	1	3.304	2013.5	1.00389		
20	2	42.30	2	1417.8	1	0.6	3	888.14	4	146.8	4	5.664	1885.6	0.50451		
21	1	36.85	3	1621.4	1	25.2	1	1872.26	4	150.4	4	5.592	1741.8	0.30304		
22	1	35.65	4	1863.8	1	3.6	2	1032.45	4	151.8	1	3.792	1916.7	0.57360		
23	1	38.70	1	1360.2	2	30.9	3	980.76	4	144.7	3	4.632	1889.1	0.49374		
24	1	38.65	2	1434.2	2	38.1	4	751.42	4	147.8	2	4.080	2003.3	0.78942		
25	1	35.75	3	1717.4	1	2.7	4	760.62	4	145.4	3	4.960	1918.6	0.59247		
26	1	38.10	4	1948.6	1	8.4	3	857.66	4	147.1	2	4.104	1948.6	0.58204		
27	1	36.35	2	1375.0	2	35.1	2	1027.34	4	148.1	4	6.000	1841.5	0.42231		
28	1	39.05	1	1551.2	2	48.3	1	1378.71	4	148.6	1	4.048	1851.5	0.42777		
29	2	42.20	3	1740.0	2	30.3	3	963.26	4	144.6	2	4.536	1892.7	0.49296		
30	2	44.65	4	1911.4	2	39.0	4	709.94	4	147.4	4	3.672	1926.3	0.58467		
31	2	42.90	1	1343.8	1	29.4	1	1778.64	4	153.4	2	4.016	1934.7	0.64915		
32	2	41.15	2	1423.2	1	1.6	2	1075.37	4	144.6	3	5.048	1876.3	0.46350		
33	2	41.30	3	1643.4	2	33.0	2	1042.84	2	128.5	2	3.944	1851.5	0.42777		
34	2	42.95	4	1806.2	2	36.0	1	1417.76	2	127.9	3	4.984	1886.8	0.33251		
35	2	43.35	1	1220.8	1	29.7	4	763.29	2	130.8	1	3.296	1940.7	0.57974		
36	2	42.55	2	1504.6	1	19.5	3	862.88	2	131.0	4	5.640	1757.4	0.34143		
37	1	38.20	3	1782.6	1	27.0	1	149.75	2	127.2	4	5.600	1763.9	0.18128		
38	1	35.65	4	1887.8	1	29.7	2	1104.26	2	133.8	1	3.592	1887.8	0.33415		
39	1	37.95	1	1360.6	2	51.6	3	907.18	2	130.7	3	5.272	1791.6	0.33438		
40	1	35.95	2	1450.0	2	42.0	4	736.19	2	132.9	2	3.920	1924.2	0.55529		
41	1	38.00	3	1711.8	1	27.9	4	695.36	2	130.8	3	5.248	1863.8	0.46888		
42	1	35.30	4	1610.4	1	21.3	3	1007.42	2	130.5	2	4.200	1810.4	0.32880		
43	1	36.75	1	1317.8	2	50.4	2	1040.22	2	133.2	4	5.744	1750.1	0.29278		
44	1	38.85	2	1513.8	2	40.2	1	1918.30	2	125.5	1	3.304	1680.2	0.21110		
45	2	40.80	3	1785.6	2	51.3	3	842.42	2	129.7	1	3.504	1877.8	0.46996		

Table. 11

46	4.4.60	2	1828.8	4	722.81	2	133.0	4	5.424	2	128.5	2	4.552	2	4.2414	
47	2	44.85	1	1246.6	1	12.0	1	1407.78	2	128.5	1	3.096	1	1710.3	0.48291	
48	2	43.90	2	1550.4	1	14.1	2	1293.43	2	124.3	3	4.824	2	1680.2	0.22003	
49	1	36.75	3	1758.4	2	52.8	2	1092.53	6	164.0	2	4.200	2	1920.6	0.73008	
50	51	1	36.10	4	1997.4	2	59.4	1	1658.62	6	166.7	3	5.080	1	1991.6	0.45390
52	52	1	37.40	1	1302.0	1	12.3	4	722.81	6	166.9	1	3.096	1	2153.1	1.40625
53	53	1	38.70	2	1414.4	1	25.2	3	937.44	6	164.2	4	5.488	2	1968.7	0.73169
54	54	2	40.90	3	1784.8	1	18.0	1	1443.38	6	164.0	4	5.544	2	1807.4	0.48026
55	55	2	42.40	4	1970.8	1	17.7	2	1318.76	6	166.8	1	3.400	2	1976.9	0.72536
56	56	2	44.45	1	1238.2	2	36.6	3	880.76	6	168.5	3	5.520	2	2029.9	0.93615
57	57	2	40.95	2	1560.4	2	43.5	4	746.80	6	170.6	2	3.912	2	2128.1	1.32563
58	58	2	43.40	3	1619.0	1	23.1	4	567.68	6	169.9	3	4.960	2	2065.3	1.08238
59	59	2	41.15	4	1803.2	1	6.3	3	943.76	6	168.4	2	4.592	2	2002.2	0.84599
60	60	2	41.20	1	1209.4	2	40.8	2	1027.74	6	173.7	4	4.152	2	2000.6	0.80553
61	61	1	39.40	3	1616.0	2	39.9	1	1611.26	6	168.7	1	3.400	2	1986.9	0.80702
62	62	1	35.00	4	1949.2	2	56.1	4	693.18	6	166.8	4	5.672	2	2003.0	0.88709
63	63	1	37.70	1	1370.6	1	10.8	1	1383.46	6	172.6	2	4.152	2	2000.6	0.6
64	64	2	43.15	2	1442.8	1	15.3	2	1331.82	6	173.8	3	5.328	2	1947.0	0.67417
65	65	2	43.95	3	1729.8	2	33.9	2	1273.10	1	120.2	2	5.264	2	1729.8	0.18773
66	66	2	41.45	4	1863.4	2	47.1	1	1453.90	1	117.9	1	3.064	2	2135.5	0.132450
67	67	2	44.05	1	1275.8	1	21.6	4	705.39	1	115.5	1	3.040	2	1873.8	0.42588
68	68	2	43.00	2	1434.8	1	0.0	3	839.11	1	120.9	4	5.552	2	1730.2	0.27027
69	69	1	37.15	3	1516.2	1	11.4	1	1393.09	1	115.2	1	5.792	2	1692.5	0.13292
70	70	1	38.20	4	1800.2	1	10.8	2	1137.92	1	114.9	1	3.576	2	1787.6	0.18561
71	71	1	35.40	1	1280.0	2	59.4	3	824.57	1	122.5	3	5.264	2	1742.5	0.15528
72	72	1	35.85	2	1453.4	2	54.9	4	713.40	1	115.5	2	4.416	2	1795.9	0.32930
73	73	1	39.20	3	1726.6	1	0.9	4	784.02	1	116.9	3	5.264	2	1732.6	0.27552
74	74	1	37.85	4	1814.0	1	7.2	3	1000.16	1	115.1	2	4.040	2	1807.8	0.20375
75	75	1	36.90	1	1337.4	2	49.8	2	1141.09	1	114.0	4	4.040	2	1784.7	0.31909
76	76	1	39.15	2	1426.4	2	30.9	1	1593.99	1	122.6	3	4.760	2	1784.7	0.31909
77	77	2	40.10	3	1718.6	2	48.6	3	923.05	1	115.6	1	3.488	2	1751.0	0.27938
78	78	2	42.95	4	1959.6	2	37.5	4	812.09	1	123.0	4	6.064	2	1842.2	0.27510
79	79	2	43.55	1	1202.4	1	8.4	1	1402.85	1	120.1	2	4.040	2	1878.3	0.20314
80	80	2	40.50	2	1408.0	1	18.0	1	1027.34	1	117.6	3	5.320	2	1669.4	0.20193
81	81	1	35.05	3	1645.4	2	49.5	2	1086.71	5	161.6	2	4.268	2	1964.2	0.69757
82	82	1	36.20	4	1891.2	2	42.0	1	1770.60	5	163.8	3	5.072	2	1891.2	0.43661
83	83	1	35.55	1	1229.6	1	10.8	4	779.78	5	161.0	1	3.488	2	2029.5	1.08847
84	84	1	37.55	2	1453.2	1	17.7	3	859.39	5	155.5	4	6.200	2	1909.1	0.57562
85	85	2	44.15	3	1661.8	1	19.8	1	1658.62	5	155.1	4	5.888	2	1789.1	0.36523
86	86	2	40.15	4	1863.4	1	21.6	2	1128.52	5	162.8	1	3.672	2	1977.3	0.73589
87	87	2	43.00	1	1373.8	2	42.9	3	832.58	5	157.0	3	5.112	2	1935.1	0.76538
88	88	2	42.85	2	1416.2	2	30.0	4	720.43	5	161.8	2	4.184	2	2088.0	1.13148
89	89	2	42.50	3	1722.2	1	5.1	4	704.26	5	156.12	3	4.896	2	2020.8	0.89923
90	90	2	42.45	4	1930.8	1	6.9	3	869.93	5	155.1	2	4.496	2	1951.4	0.68013
91	91	2	41.00	1	1389.0	2	30.3	2	1289.31	5	158.4	4	5.456	2	1883.2	0.50204
92	92	2	44.05	2	1551.4	2	55.8	1	1532.31	5	161.5	1	3.488	2	1966.2	0.67677
93	93	1	35.20	3	1781.0	2	51.0	3	963.26	5	155.3	4	5.536	2	1985.1	0.74763
94	94	1	35.70	4	1947.6	2	58.8	4	763.29	5	156.0	4	6.152	2	1868.9	0.58682
95	95	1	39.70	1	1229.8	1	18.6	1	1854.48	5	155.12	2	4.344	2	1868.9	0.45339
96	96	1	38.75	2	1513.6	1	6.0	2	1230.60	5	160.0	3	5.144	2	1849.3	0.53274

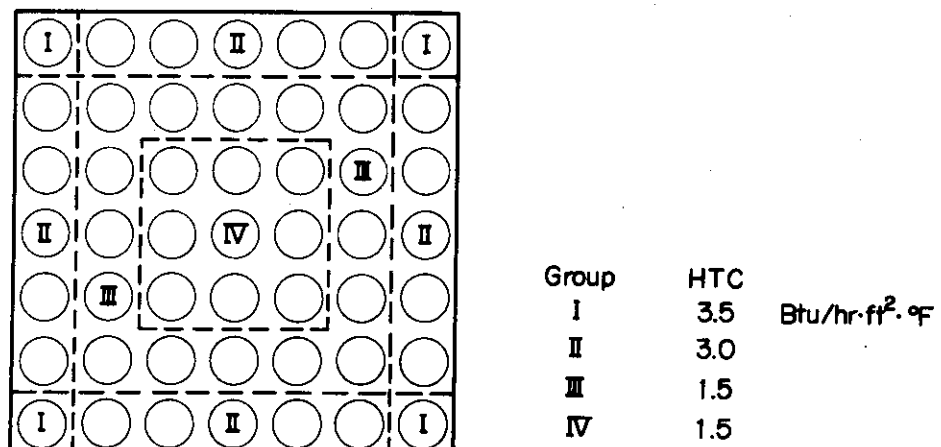


Fig. 4 HTC under core spray cooling

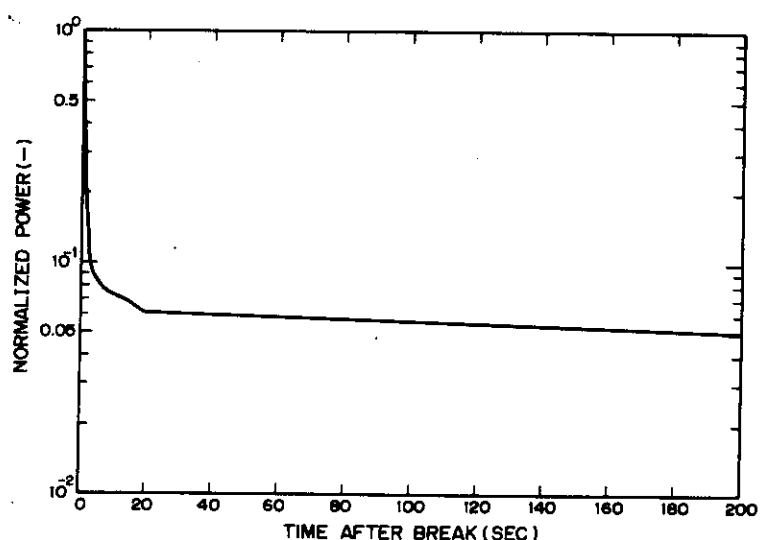


Fig. 6 Normalized power vs. time

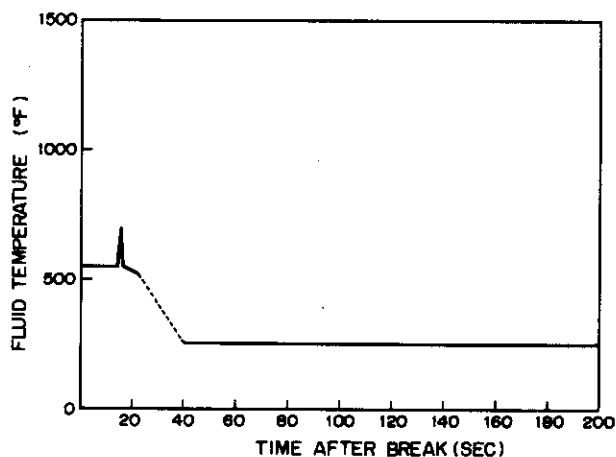


Fig. 7 Fluid temperature vs. time

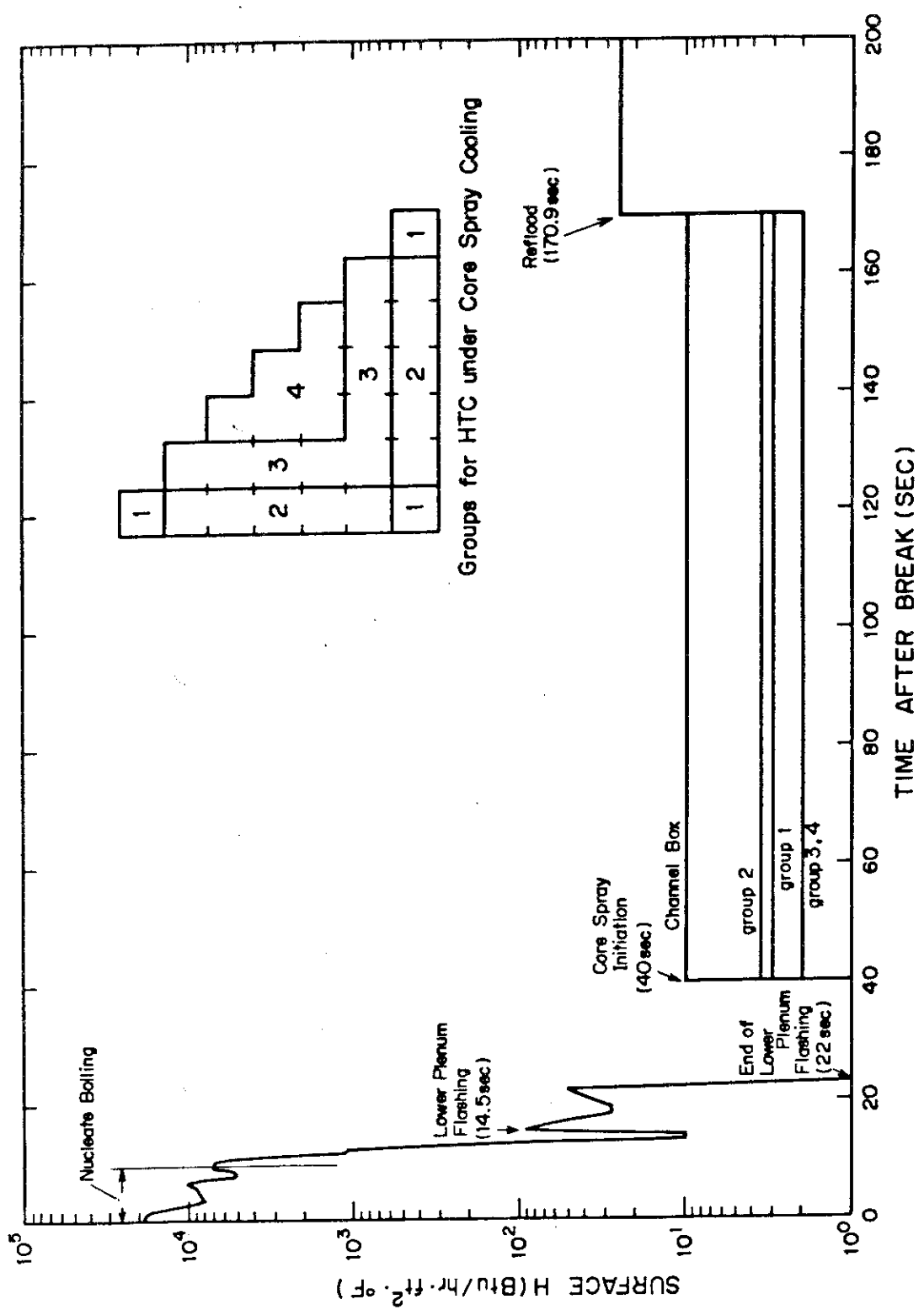


Fig. 8 Hot spot surface HTC vs. time

(7)

4. 分 散 分 析

本章は PCT (被覆管表面最高温度) について分析した結果である。数値実験により得られた結果と 3.4 項で得た因子の水準組合せを用いて分散分析を行った。3組の実験について同様なので、その具体的方法については実験第1組を対象として述べることにする。

因子 E のわりつけは、直交表 L₆₄ を用いて、計算 No. 1 ~ 64 に水準 2, 6, 4, 1 をわりつけ、計算 No. 65 ~ 128 (計算 No. 97 ~ 128 は No. 1 ~ 32 と同じ) に水準 3, 5, 2, 6 をわりつけた。

分散分析表 (Table 12) を得るまでの手順は以下の通りである。各因子の PCT に対する影響の大きさは、以下の各平方和を計算して確かめる。

平方和

$$S_A = (A_1^2 + A_2^2) / 64 - CF$$

$$S_B = (B_1^2 + B_2^2 + B_3^2 + B_4^2) / 32 - CF$$

$$S_C = (C_1^2 + C_2^2) / 64 - CF$$

$$S_D = (D_1^2 + D_2^2 + D_3^2 + D_4^2) / 32 - CF$$

$$S_E = (E_2^2 + E_6^2) / 32 + (E_1^2 + E_3^2 + E_4^2 + E_5^2) / 16 - CF$$

$$S_F = (F_1^2 + F_2^2 + F_3^2 + F_4^2) / 32 - CF$$

$$CF = (\sum_{i=1}^{128} y_i)^2 / 128$$

ここで、A₁ は A の水準が 1 の PCT (= y_i) の合計である。他の因子についても同様。
交互作用の平方和は次のようになる。

交互作用 B×E の平方和

$$S_{BE} = S_{BE} - S_B - S_E$$

$$\begin{aligned} S_{BE} &= (B_1 E_1^2 + B_2 E_1^2 + B_3 E_1^2 + B_4 E_1^2 + B_1 E_3^2 + B_2 E_3^2 + B_3 E_3^2 \\ &\quad + B_4 E_3^2 + B_1 E_4^2 + B_2 E_4^2 + B_3 E_4^2 + B_4 E_4^2 + B_1 E_5^2 + B_2 E_5^2 \\ &\quad + B_3 E_5^2 + B_4 E_5^2) / 4 \\ &\quad + (B_1 E_2^2 + B_2 E_2^2 + B_3 E_2^2 + B_4 E_2^2 + B_1 E_6^2 + B_2 E_6^2 + B_3 E_6^2 \\ &\quad + B_4 E_6^2) / 8 - CF \end{aligned}$$

ここで、B₁ E₁² は B の水準が 1 かつ E の水準が 1 の y_i の合計の 2 乗である。他の組合せも同

様。

$S_{D \times E}$, $S_{E \times F}$ も同様に計算する。

$$S_{D \times E} = S_{DE} - S_D - S_E$$

$$S_{E \times F} = S_{EF} - S_E - S_F$$

$$S_{C \times E} = S_{CE} - S_C - S_E$$

S_{CE} は次のようになる。

$$\begin{aligned} S_{CE} &= (C_1 E_1^2 + C_2 E_1^2 + C_1 E_3^2 + C_2 E_3^2 + C_1 E_4^2 + C_2 E_4^2 + C_1 E_5^2 \\ &\quad + C_2 E_5^2) / 8 + (C_1 E_2^2 + C_2 E_2^2 + C_1 E_6^2 + C_2 E_6^2) / 16 \\ &\sim CF \end{aligned}$$

次に、因子 A, B, …, F 及び交互作用 $B \times E$, $C \times E$, $D \times E$, $E \times F$ 以外の他のあらゆる原因が実験値にどのような影響を与えていたかを知るには、全体のバラツキすなわち全変動 S_T

$$S_T = \sum_{i=1}^{128} y_i^2 - CF$$

からそれぞれの効果を差し引けばよい。残差 2 乗和（誤差 2 乗和） S_e

$$S_e = S_T - S_A - S_B - \dots - S_F - S_{B \times E} - \dots - S_{E \times F}$$

となる。 S_e の自由度を df_e とすると、実験の誤差分散 S_e / df_e は A, B, C, …, E × F 以外のすべての要因の総合的影響の程度を示すが、今回の数値実験では各因子が各水準に対応する範囲からランダムに定められたことによる特性値の変動に起因するものが含まれている。

S_A / df_A , S_B / df_B , … 等は不偏分散と呼ばれる。すなわち、誤差分散は誤差の不偏分散である。

各要因の寄与率を F 検定するために、不偏分散を誤差分散で割った分散比 F_0

$$F_0 = (S / df_e) / (S_e / df_e)$$

を求める。以上の手順で得た分散分析表を Table 12 に示す。

F 検定¹¹ を行うと、 $C \times E$, $D \times E$, $E \times F$ は有意であるとはいがたい。よって、これらを誤差の項にプールすると、

$$\begin{aligned} S'e &= S_e + S_{C \times E} + S_{D \times E} + S_{E \times F} \\ &= 103483 \end{aligned}$$

$$\begin{aligned} df'e &= df_e + df_{C \times E} + df_{D \times E} + df_{E \times F} \\ &= 64 \end{aligned}$$

$$\therefore V_e = \frac{S'_e}{df'e} = 1616.9$$

となる。これより求めた修正分散比 $F_0 = (S/df)/V_e$ を同じ Table 12 の修正 F_0 の欄に示した。この修正 F_0 を見ると、各要因の効果の大きさが一目瞭然にわかる。実験第1組では要因 E, D の効果が特に大きいことがわかる。

次に、各因子の要因効果曲線と信頼区間幅を求める。各因子の各水準ごとの PCT の平均値を Table 16 に示す。また、この平均値の信頼区間を計算するのに必要となる有効反復数を求める。

一部追加の因子の主効果の場合、その主効果の期待値の中で要因に関する部分は、測定値を2倍される部分のみ反復数を倍に数えた場合のものと同じにすればよい。一方、誤差に関する部分は全体の誤差分散が $2N\sigma^2$ ($N = 64$, σ^2 : 測定値の分散) となり、過剰分の $2N - (N + M) = N - M$ 個 (M 個追加) の誤差分散は直交表 L_{64} の各自由度に平等に配分される。よって、分散分析表 (Table 12) の分散の期待値を求めると、Table 16 のようになる。この Table より、

$$A, C \text{ の有効反復数} \quad 64 \times \frac{2}{3} = 42.67$$

$$B, D, F \text{ の } " \quad 32 \times \frac{2}{3} = 21.33$$

$$E \text{ の } " \quad \frac{96}{5} \times \frac{10}{13} = 14.77$$

従って、95% 信頼区間の幅は次のようにして求まる。

$$A, C \quad t(64, 0.05) \sqrt{1616.92 / 42.67} = 12.3$$

$$B, D, F \quad t(64, 0.05) \sqrt{1616.92 / 21.33} = 17.3$$

$$E \quad t(64, 0.05) \sqrt{1616.92 / 14.77} = 20.9$$

例えば、A の第1水準における特性値の平均は信頼度 95% で 1874.1 ± 12.3 °F の間にあるといえるわけである。こうして求めた信頼区間幅を Table 16 の右欄に示した。

実験第2組、第3組についての分散分析表、水準平均・信頼区間幅を Table 13, 14, 17, 18 に示す。またこれらの結果から、得られる要因効果曲線を Fig. 9, 10, 11 に示す。

3つのケースの分散分析の結果を比較すると、Table 19 のようになる。これらの結果から各要因を効果の大きさの順に並べると、

1. E
2. D
3. F
4. B

5. C
6. B×E
7. A

となり、残りの C×E, D×E, E×F はほとんど有意であるとはいえない。

次の重回帰分析では各因子の二次の効果まで考慮するので、ここで得た分散を直交分解して次の重回帰分析の結果の参考にする。

因子の区間内で水準が a 個の等間隔に分けられている場合の直交多項式は以下のように与えられる。

$$S_{X_I} = (W_1 X_1 + W_2 X_2 + \dots + W_a X_a)^2 / r \cdot \lambda^2 S$$

r : 反復数

X_i : 水準 i における測定値の和

$\lambda^2 S, W_i$: 定数

ここで各水準の平均値を \bar{X}_i とすると、

$$X_i = r \bar{X}_i$$

$$\therefore S_{X_I} = (W_1 \bar{X}_1 + W_2 \bar{X}_2 + \dots + W_a \bar{X}_a)^2 \cdot r / \lambda^2 S$$

そして、水準の数 a によって、 S_{X_I} の一次、二次、三次……について $W_i, \lambda^2 S$ が与えられている。例えば、実験第 1 組の B についての平方和 51392 を直交分解すると、4 水準の直交多項式の係数は、Table 20 のように与えられているので次のようになる。

一次の項

$$\begin{aligned} S_{B_\ell} &= \{ 1872.4 \times (-3) + 1869.5 \times (-1) + 1867.6 \times 1 + 1915.9 \times 3 \}^2 \times 32 \times \frac{1}{20} \\ &= 26488 \end{aligned}$$

二次の項

$$\begin{aligned} S_{B_q} &= \{ 1872.4 \times 1 + 1869.5 \times (-1) + 1867.6 \times (-1) + 1915.9 \times 1 \}^2 \times 32 \times \frac{1}{4} \\ &= 20989 \end{aligned}$$

三次の項

$$\begin{aligned} S_{B_c} &= \{ 1872.4 \times (-1) + 1869.5 \times 3 + 1867.7 \times (-3) + 1915.9 \times 1 \}^2 \times 32 \times \frac{1}{20} \\ &= 3896 \end{aligned}$$

$S_B = S_{B_\ell} + S_{B_q} + S_{B_c}$ とならないのは、数値計算上の誤差のためである。同様に S_F も分解できるが、 S_D は D が等間隔に水準がとられておらず、また水準と D の値の間に関数関係もないので分解できない。 S_A と S_C は自由度が 1 であるため、これらも直交分解できない。

S_E は一次、二次及びその他に分解することができる。交互作用も例えば、 $S_{B \times E}$ は $S_{B\ell \times E\ell}$ を分離することができる。

この結果を Table 21, 22, 23 に示す。

この直交分解した分散分析の結果から、先の分散分析と比べると、要因（因子及び交互作用）全体としては有意ではなくても、直交分解するとその効果の大きい成分が明確になってくる。したがって、二次の効果まで考慮して行う次の重回帰分析の結果には、この直交分解した分散分析で効果が大きく出た項が現われてくることが予想される。

Table 12 分散分析表（実験第1組）

要因	自由度	平方和	不倫分散	°F	修正°F
A	1	6626	6626	2.85	4.10
B	3	51392	17131	7.38	10.59
C	1	8889	8889	3.38	5.50
D	3	421103	140368	60.44	86.81
E	5	1128735	225747	97.21	139.62
F	3	216739	72246	31.11	44.68
B × E	15	83521	5568	2.40	3.44
C × E	5	4191	838	* 0.36	—
D × E	15	16226	1082	* 0.47	—
E × F	15	15718	1048	* 0.45	—
e	29	67348	2322		
T	95	2020488			

Table 13 分散分析表（実験第2組）

要因	自由度	平方和	不倫分散	°F	修正°F
A	1	3547	3547	2.13	2.22
B	3	61326	20442	12.27	12.78
C	1	18654	18654	11.20	11.66
D	3	415514	138505	83.14	86.57
E	5	1082993	216599	130.01	135.37
F	3	199561	66520	39.93	41.58
B × E	15	72697	4846	2.91	3.03
C × E	5	3794	759	* 0.46	—
D × E	15	32317	2154	* 1.29	—
E × F	15	17958	1197	* 0.72	—
e	29	48303	1666		
T	95	1956664			

Table 14 分散分析表 (実験第3組)

要因	自由度	平方和	不偏分数	°F	修正°F
A	1	362	362	* 0.12	
B	3	9861	3287	1.05	1.57
C	1	7837	7837	2.53	3.76
D	3	309258	103086	33.06	49.18
E	5	730477	146095	46.86	69.70
F	3	143579	47860	15.35	22.83
B × E	15	41751	2783	* 0.89	—
C × E	5	8182	1636	* 0.52	—
D × E	15	8745	583	* 0.19	—
E × F	15	18224	1215	* 0.39	—
e	29	90412	3118		
T	95	1368688			

Table 15 分散の期待値（実験第1組）

要 因	自由度	平方和	分散 の 期 待 値
A	1	S _A	$\frac{3}{2} \sigma^2 + 64 \sigma_A^2$
B	3	S _B	$\frac{3}{2} \sigma^2 + 32 \sigma_B^2$
C	1	S _C	$\frac{3}{2} \sigma^2 + 64 \sigma_C^2$
D	3	S _D	$\frac{3}{2} \sigma^2 + 32 \sigma_D^2$
E	5	S _E	$\frac{3}{10} \sigma^2 + \frac{96}{5} \sigma_E^2$
F	3	S _F	$\frac{3}{2} \sigma^2 + 32 \sigma_F^2$
B × E	15	S _{B×E}	$\frac{13}{10} \sigma^2 + \frac{24}{5} \sigma_{B\times E}^2$
C × E	9	S _{C×E}	$\frac{13}{10} \sigma^2 + \frac{48}{5} \sigma_{C\times E}^2$
D × E	15	S _{D×E}	$\frac{13}{10} \sigma^2 + \frac{24}{5} \sigma_{D\times E}^2$
E × F	15	S _{E×F}	$\frac{13}{10} \sigma^2 + \frac{24}{5} \sigma_{E\times F}^2$
e	29	S _e	$\frac{77}{58} \sigma^2$
T	95	S _T	

Table 16 各水準での PCT 平均値と信頼区間幅 (実験第 1 組)
(単位 °F)

水準 要因	1	2	3	4	5	6	95 % 信頼区間巾
A	1874.1	1888.5					12.3
B	1872.4	1869.5	1867.6	1915.9			17.4
C	1873.0	1889.7					12.3
D	1805.0	1851.7	1914.0	1954.7			17.4
E	1740.5	1799.1	1843.0	1913.3	1945.4	2005.1	20.9
F	1935.8	1896.1	1871.2	1822.3			17.4

Table 17 各水準での PCT 平均値と信頼区間幅 (実験第 2 組)
(単位 °F)

水準 要因	1	2	3	4	5	6	95 % 信頼区間巾
A	1876.0	1886.6					12.1
B	1876.2	1862.4	1868.3	1918.3			17.1
C	1869.2	1893.4					12.1
D	1808.9	1849.7	1907.4	1959.2			17.1
E	1748.2	1800.3	1840.7	1900.7	1955.6	2002.3	20.6
F	1921.0	1905.7	1880.9	1817.6			17.1

Table 18 各水準での PCT 平均値と信頼区間幅 (実験第 3 組)
(単位 °F)

水準 要因	1	2	3	4	5	6	95 % 信頼区間巾
A	1871.0	1874.3					12.8
B	1874.3	1870.0	1860.9	1885.4			18.2
C	1864.8	1880.5					12.8
D	1814.5	1842.4	1889.9	1943.9			18.2
E	1742.8	1803.4	1850.8	1895.6	1935.2	2007.1	21.8
F	1914.3	1892.7	1856.8	1826.8			18.2

Table 19 分散分析のまとめ

要因 \ 実験	第 1 組	第 2 組	第 3 組	平 均
A	○			○
B	○ ○	○ ○		○ ○
C	○	○ ○ ○		○
D	○ ○ ○	○ ○ ○	○ ○	○ ○ ○
E	○ ○ ○	○ ○ ○	○ ○	○ ○ ○
F	○ ○	○ ○	○ ○ ○	○ ○ ○
B × E	○ ○			○
C × E				
D × E				
E × F				
誤差分散	1616.9	1598.89	2095.95	

○ 5 %の危険率で有意

○○ 1 % " "

○○○ 誤差の 2 倍以上

Table 20 4 水準の直交多項式の係数

	b ₁	b ₂	b ₃
W ₁	-3	1	-1
W ₂	-1	-1	3
W ₃	1	-1	-3
W ₄	3	1	1
$\lambda^2 S$	20	4	20

Table 21 直交分解を行った分散分析表（実験第1組）

要 因	自由度	平方和	不偏分散	修正分散比
A	1	6626	6626	3.63
B	(3)	(51392)		
B一次	1	26488	26488	14.50
B二次	1	20989	20989	11.49
B三次	1	3915	3915	2.14
C	1	8889	8889	4.87
D	3	421103	421103	230.54
E	(5)	(1128735)		
E一次	1	766870	766870	419.83
E二次	1	395	395	
E 残り	3	361470	120490	65.96
F	(3)	(216739)		
F一次	1	213617	213617	116.95
F二次	1	688	*	688
F三次	1	2434	*	2434
B×E	(15)	(83521)		
B _ε ×E _ε	1	44498	44498	23.36
残り	14	39023	*	2787
C×E	(5)	(4191)		
C _ε ×E _ε	1	1194	1194	
残り	4	2997	*	749
D×E	15	16226	1082	
E×F	(15)	(15718)		
E _ε ×F _ε	1	5030	5030	2.75
残り	14	10688	*	763
ε	29	67348	2322	
合 計	95	2020488		

Table 22 直交分解を行った分散分析表（実験第2組）

要因	自由度	平方和	不偏分散	修正分散比
A	1	3547	3547	2.25
B	(3)	(61326)		
B一次	1	27860	27860	17.57
B二次	1	32512	32512	20.50
B三次	1	954	954	
C	1	18654	18654	11.76
D	3	415514	138505	87.33
E	(5)	(1082993)		
E一次	1	737858	737858	465.21
E二次	1	180	180	
E残り	3	344955	114985	72.50
F	(3)	(199561)		
F一次	1	179712	179712	113.31
F二次	1	18495	18495	11.66
F三次	1	1354	*	1354
B×E	(15)	(72697)		
B _{el} ×E _{el}	1	26188	26188	16.51
残り	14	46509	3322	2.09
C×E	(5)	(3794)		
C _{el} ×E _{el}	1	1185	*	1185
残り	4	2609	*	652
D×E	15	32317	*	2154
E×F	(15)	(17958)		
E _{el} ×F _{el}	1	1480	*	1480
残り	14	16478	*	1177
e	29	48303		
合計	95	1956664		

Table 23 直交分解を行った分散分析表（実験第3組）

要 因	自由度	平方和	不偏分散	修正分散比
A	1	362	* 362	
B	(3)	(9861)		
B 一次	1	934	934	
B 二次	1	6577	6577	3.70
B 三次	1	2350	2350	1.32
C	1	7837	7837	4.41
D	3	309258	103086	58.05
E	(5)	730477		
E 一次	1	709371	709371	399.44
E 二次	1	126	126	
E 残り	3	20980	6993	3.94
F	(3)	(143579)		
F 一次	1	142356	142356	80.16
F 二次	1	557	* 557	
F 三次	1	666	* 666	
B×E	(15)	(41751)		
B _ε ×E _ε	1	19579	19579	11.02
残り	14	22172	* 1584	
C×E	(5)	(8182)		
C _ε ×E _ε	1	3046	* 3046	
残り	4	5136	* 1284	
D×E	15	8745	* 583	
E×F	(15)	(18224)		
E _ε ×F _ε	1	7245	7245	4.08
残り	14	10979	* 784	
e	29	90412	3118	
合 計	95	1368688		

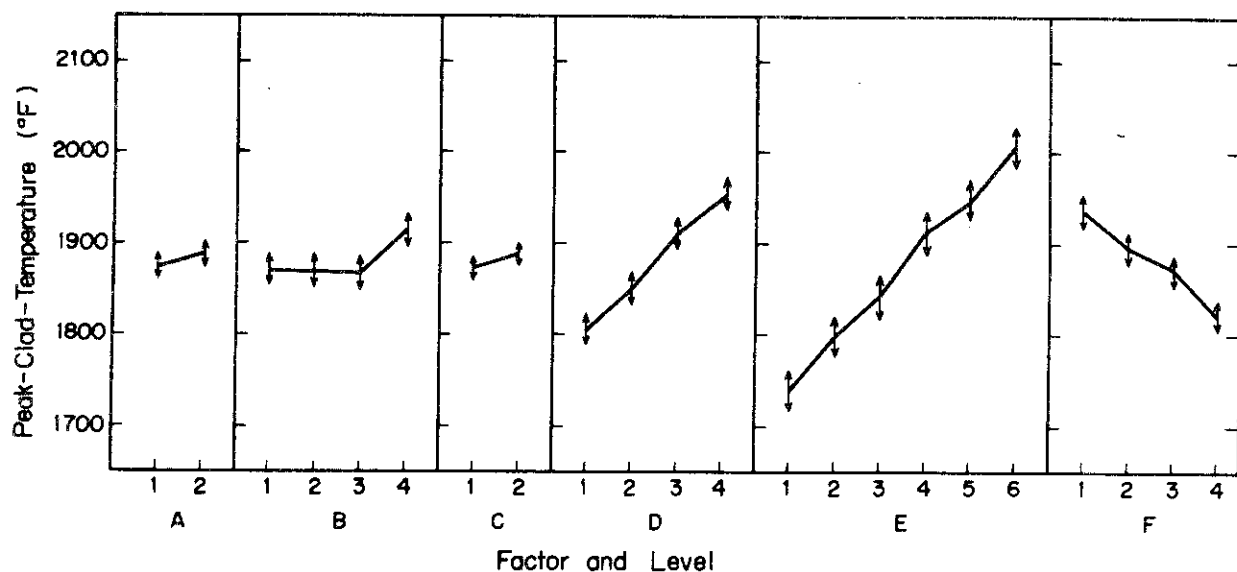


Fig. 9 Factorial effect curve (The first group of experiments)

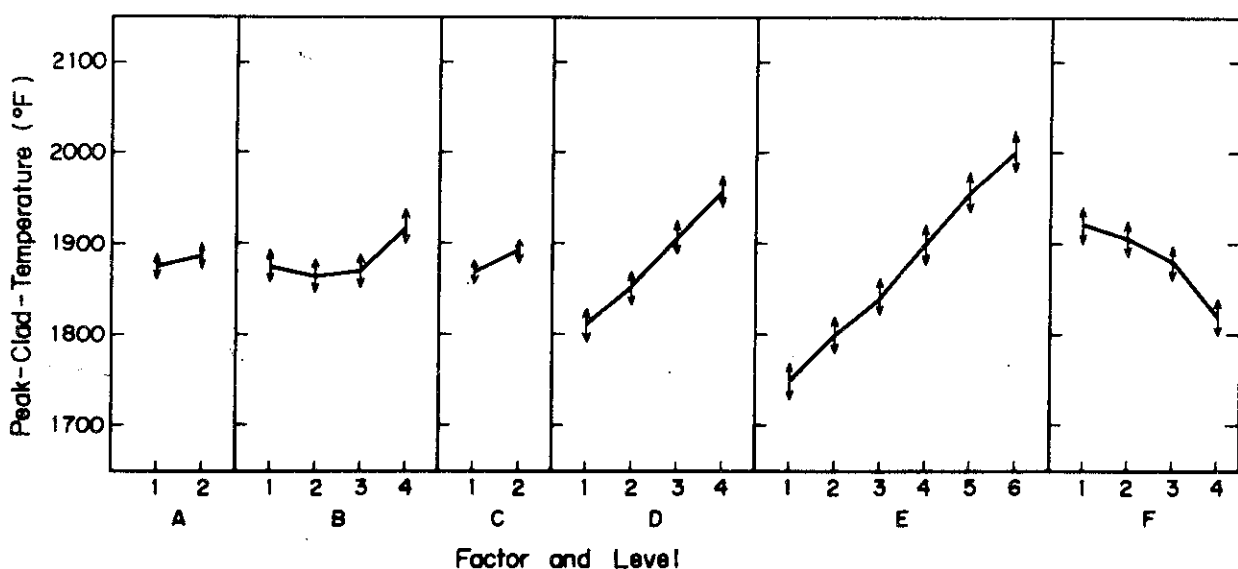


Fig. 10 Factorial effect curve (The second group of experiments)

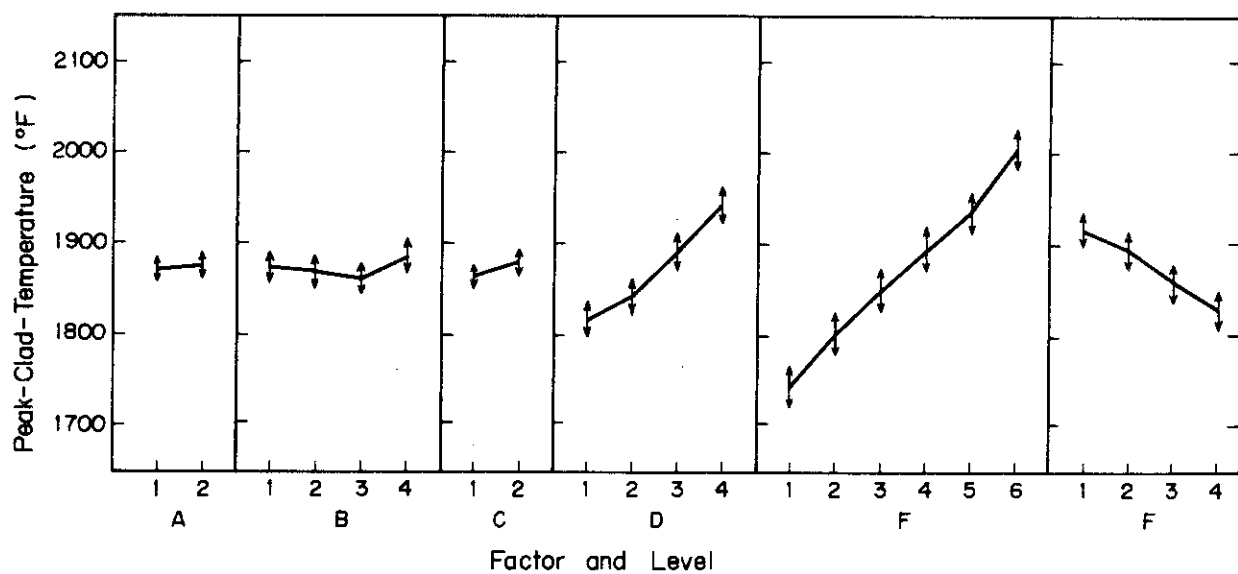


Fig. 11 Factorial effect curve (The third group of experiments)

5. 重回帰分析

3.5項で決定した各因子を独立変数、数値実験で得た PCT, CDT を従属変数として重回帰分析を行った。独立変数は各因子の2次の項、交互作用についてはすべての交互作用の項を加え、変数増加法による重回帰分析を行って回帰式にとり入れる変数を選んだ。

重回帰分析の入力データは、各因子の数値そのままの値でなく、平均値との差、すなわち次のようにした。

$$A \Leftarrow A - \bar{A}$$

$$A^2 \Leftarrow (A - \bar{A})^2$$

$$A \times B \Leftarrow (A - \bar{A})(B - \bar{B})$$

さらに、分析の対象とした数値実験のデータは、第1組と第3組の実験を合わせた $96 \times 2 = 192$ 個のデータ・セットとした。

この分析には、変数増加法による重回帰分析コード STMLR (Stepwise Multiple Regression) を使用した。このプログラムはデータの入力を実行するサブルーチン DATA を除いて、汎用的に用いることが可能である。以下に計算の結果得られた PCT, COT の回帰式を示す。ただし、回帰による変動が変数増加によって全変動の 0.5% 以上増加しなくなったら計算を停止することとした。

$$\begin{aligned}
 & \text{PCT} (\text{°F}) = 1873.4464 \\
 & \quad 118.16489 \\
 & = 0.7362430 \times \frac{E - 143.84688}{17.203354} \\
 & - 0.5364147 \times \frac{D - 1102.2190}{356.05560} \\
 & - 0.3242239 \times \frac{F - 4.6249375}{0.92517132} \\
 & + 0.1811710 \times \frac{(D - 1102.2190)^2 - 126115.29}{167112.76} \\
 & - 0.1469119 \times \frac{(B - 1591.8396)(E - 143.84688) - 61.162964}{4058.9586} \\
 & + 0.1099140 \times \frac{(B - 1591.8396)^2 - 53676.507}{49294.510} \\
 & + 0.1005300 \times \frac{(B - 1591.8396)(D - 1102.2190) + 235.47725}{88253.535}
 \end{aligned}$$

$$\begin{aligned}
 & \frac{\text{COT (mils)} - 0.52137715}{0.27631435} \\
 & = 0.7657551 \times \frac{E - 143.84688}{17.203353} \\
 & - 0.5947173 \times \frac{D - 1102.2190}{356.05560} \\
 & - 0.2621457 \times \frac{F - 4.6249375}{0.92517132} \\
 & - 0.1472704 \times \frac{(E - 143.84688)(D - 1102.2190) + 36.949512}{5902.3424} \\
 & + 0.2253300 \times \frac{(D - 1102.2190)^2 - 126115.29}{167112.76} \\
 & - 0.1436785 \times \frac{(E - 143.84688)(F - 4.6249375) + 0.43882304}{16.260502} \\
 & + 0.1056834 \times \frac{(E - 143.84688)^2 - 294.41396}{274.23254}
 \end{aligned}$$

この式で PCT については、全変動の 93.2 % を説明しており、標準誤差は 1.9 % である。また COT については、それぞれ 97.1 %, 1.3 % である。

分散分析表および直交分解を行った分散分析表と PCT の回帰式とを比較すると、回帰式に現われている項は分散分析でも有意と出ているものであることがわかる。

また、PCT の回帰式には $B \times D$ の項が現われている。これは $B \times D$ の交互作用が PCT に効果をもっていると考えられる。しかし $B \times D$ の交互作用は実験計画の段階では予想していなかった要因である。したがって、分散分析表には当然現われていない。そこで、直交表わりつけの時点にもどって考えてみる。L₆₄ 表の補助表 (Table 5) から、 $B \times D$ の情報が現われる列は、

4, 8, 12, 24, 28, 36, 44, 52, 56

の各列であり、この中には F をわりつけた 24, 44, 52, C をわりつけた 28 の各列が含まれている。すなわち $B \times D$ と F および C は交絡している。これは、わりつけの段階で $B \times D$ が小さく無視できるとしたためである。分散分析の結果得られた F, C についての効果の中に、 $B \times D$ の効果も混っていることになる。

6. 分布形の推定

ここでは、PCTとCOTの分布について、実験計画でわりつけた96回の計算結果から推定できるそれぞれの分布形を求めた。さらに、回帰式を用いて、すべての水準組合せ1536回の計算結果からも分布形を推定した。

6.1 最高被覆管表面温度の分布形

6.1.1 少数回計算から得られた分布形

96回の計算実験により得られたPCTの度数分布のヒストグラムを、実験第1組、第2組、第3組について、それぞれFig. 12, 13, 14に示す。これら3つの図から、異なった水準組合せ、また水準内でのランダム・サンプリングの違い、これらが計算結果の分布に与える系統的な効果はどちらにも認められないことがわかる。したがって、Table 1に示したような範囲内で因子が一様に変化する場合を仮定したときには、これらのPCTの度数分布結果はこのままで確率分布と解釈できる。これら3つのPCTの分布は有意水準5%の χ^2 テスト⁽¹²⁾によって正規分布と差がないことが検定された。

さて、次に因子に対する入力の現実的な分布を考慮して、予想されるPCTのより現実的な確率分布を見ることにする。

Fig. 15に一つの仮定として採用したこれらの入力因子の分布確率を示し、これによるPCTの確率分布はFig. 16, 17, 18に示すとくなる。この結果はFig. 12, 13, 14よりも現実的であると思われる。そして、これもまた5%有意水準で正規分布と差がないことが検定された。これは平均値において若干低く(15°F)、標準偏差も先の値より小さい。

正規分布はPCTをyとするとその関数は、

$$f(y) = \frac{1}{\sqrt{2\pi}\sigma} \exp \left[-\frac{(y-m)^2}{2\sigma^2} \right]$$

m : 平均値

σ : 標準偏差

である。

6.1.2 多数回計算から得られた分布

ここでいう多数回計算とは、5節で得たPCTの回帰式を使用したすべての水準組合せ、すなわち1536回の計算のことである。この場合も、因子の値はランダム・サンプリングを行っている。この結果得られた度数分布のヒストグラムをFig. 19に示した。また、因子に確率分布を与えたときのヒストグラムをFig. 20に示した。どちらも6.1.1項で示した少数回計算の結果と大変よくあっている。ただし、多数回計算の結果の方が標準偏差が小さくなっている。これもま

た。有意水準 5 %で正規分布と差がないことが検定された。

6.1.3 最高被覆管表面温度の分布から得た各種数値

実験第 1 ~ 3 組の少數回計算の結果の度数分布、Fig. 12, 13, 14, 16, 17, 18 から以下のものを試みに求めた。

- 1) PCT の出現確率が最高となる区間
- 2) 分散
- 3) 標準偏差
- 4) 平均値
- 5) PCT が 2000, 2100, 2200 °F を越える確率
- 6) 上側 1, 5, 10 % 点

この結果を Table 24 に示す。我々の今回の数値実験では PCT 2200 °F未満という規制値に対し 2200 °F以上になる確率が 0.5 %以下となっている。今回の場合 3 組の数値実験の計算結果の中に 2200 °Fを越える値はなかった。MOXY-EM コードの入力の中で因子として選んだ変数については保守的な EM 値もとっているが、その他の入力およびモデルは EM 計算である。したがって、PCT が 2200 °Fを越えることはあまり起こりえないことがわかる。

ただし、今回の我々の研究では方法論の確立を主目的としており、この小節では試みとして 2200 °Fを起える確立を計算してみたのである。将来は現象の様子をより正しく予想する計算コードを使用して、上述の評価をやり直すことが必要である。

6.2 最大被覆管酸化層厚さの分布形

6.2.1 少數回計算から得られた分布形

Fig. 21, 22 はそれぞれ MOXY-EM の 96 回計算の実験第 1 組、第 3 組から得られた、入力の一様分布に対する COT の度数分布のヒストグラムである。この COT の分布は入力に Fig. 15 のような分布を与えると、Fig. 23, Fig. 24 のようになる。そして、これらの分布はすべて有意水準 5 %で対数正規分布であることが χ^2 -テスト⁽¹²⁾によって推定された。

対数正規分布の関数の形は COT を x とすると、

$$g(x) = \frac{1}{\alpha \sqrt{2\pi}} \cdot \frac{1}{x} \cdot \exp \left[-\frac{(\log x - \beta)^2}{2\alpha^2} \right]$$

となる。

ここで

$$\begin{cases} \text{平均値} & m = \exp \left(\beta + \frac{\alpha^2}{2} \right) \\ \text{分散} & s = m^2 (r - 1) \quad r \equiv e^{\alpha^2} \\ \therefore & \begin{cases} \alpha^2 = \log \left(1 + \frac{s}{m^2} \right) \\ \beta = \log m - \frac{\alpha^2}{2} \end{cases} \end{cases}$$

6.2.2 多数回計算から得られた分布形

PCT のときと同様に、COT の回帰式を使用したすべての水準組合せの計算 1536 回を行った。その結果得られた度数分布のヒストグラムを Fig. 25 に示す。また因子に確率分布を与えたヒストグラムを Fig. 26 に示す。どちらも、少数回計算のときと同様有意水準 5 % で対数正規分布であると推定される。

Table 24 最高被覆管表面温度の分布から得た各種数値

項目 実験 入力の分布	一様 分布			分佈あり (Fig. 15)		
	第1組 (Fig. 12)	第2組 (Fig. 13)	第3組 (Fig. 14)	第1組 (Fig. 16)	第2組 (Fig. 17)	第3組 (Fig. 18)
出現確率が最高となる区間 (°F)	1920 ~ 1990	1850 ~ 1920	1780 ~ 1850	1920 ~ 1990	1850 ~ 1920	1780 ~ 1850
分散	15682.1	15522.2	13013.3	11193.6	11794.0	9097.34
標準偏差 (°F)	125.2	124.6	114.1	105.8	108.6	95.38
平均値 (°F)	1871.5	1874.8	1877.7	1862.0	1860.9	1871.7
2000 °F を越える確率 (%)	15.15	15.79	14.19	9.61	9.94	8.93
2100 °F	3.36	3.52	2.56	0.94	1.79	0.84
2200 °F	0.46	0.45	0.20	0.07	0.09	0.03
上 1 % 点 (°F)	2162.4	2164.6	2143.0	2108.5	2200.0	2094.6
上 5 % 点 (°F)	2077.1	2079.7	2065.3	2036.0	2039.5	2028.6
上 10 % 点 (°F)	2031.6	2034.4	2023.9	1997.4	1999.9	1993.8

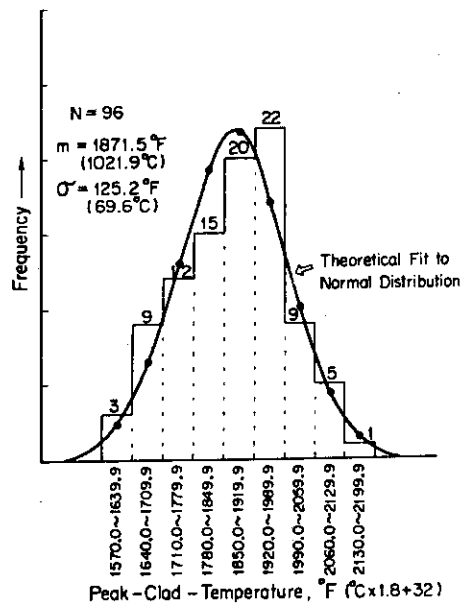


Fig. 12 Output distribution of PCTs, or probability distribution of PCTs when the factor uniformly varies through the levels within the range (The first group of experiments)

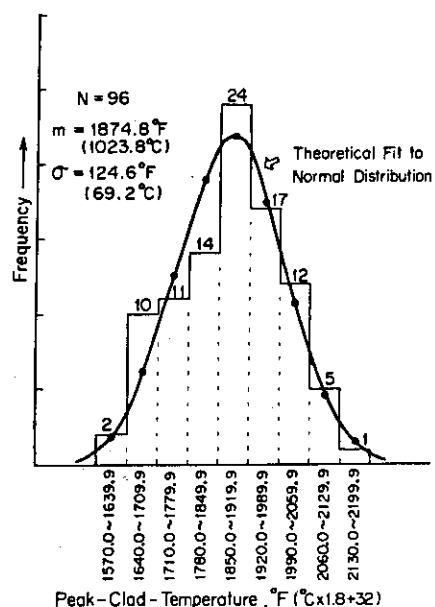


Fig. 13 Output distribution of PCTs, or probability distribution of PCTs when the factor uniformly varies through the levels within the range (The second group of experiments)

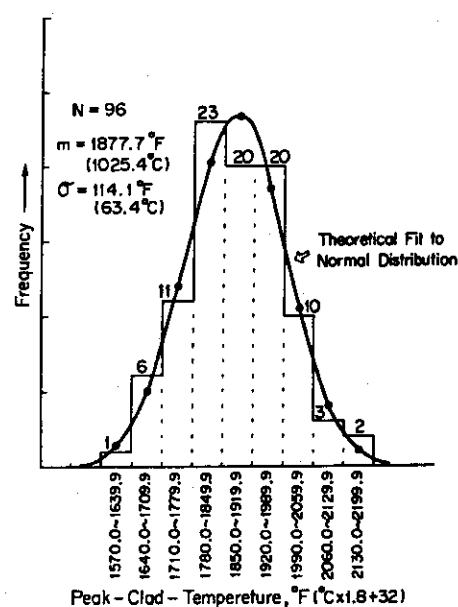


Fig. 14 Output distribution of PCTs, or probability distribution of PCTs when the factor uniformly varies through the levels within the range (The third group of experiments)

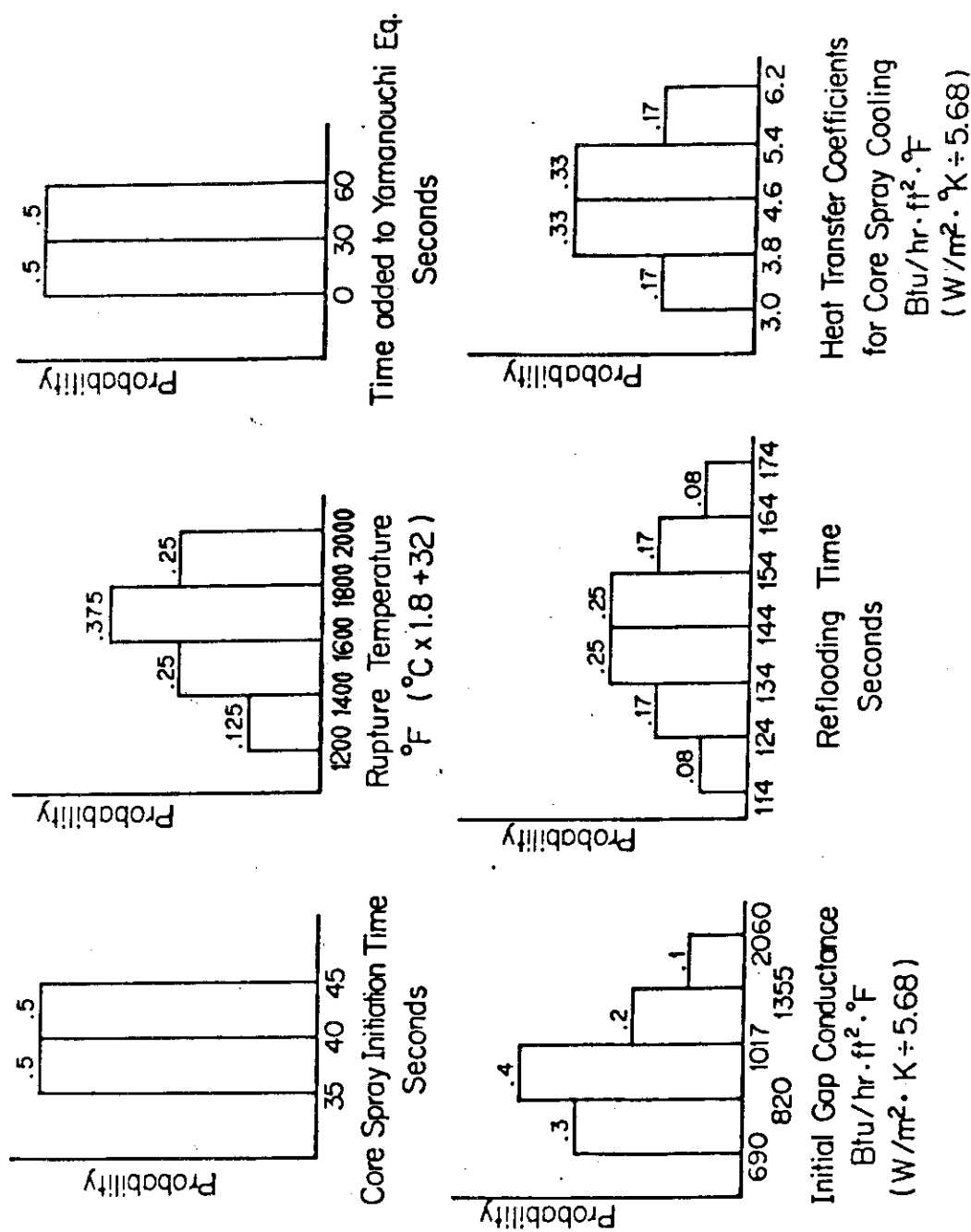


Fig. 15 Input data distribution assumed

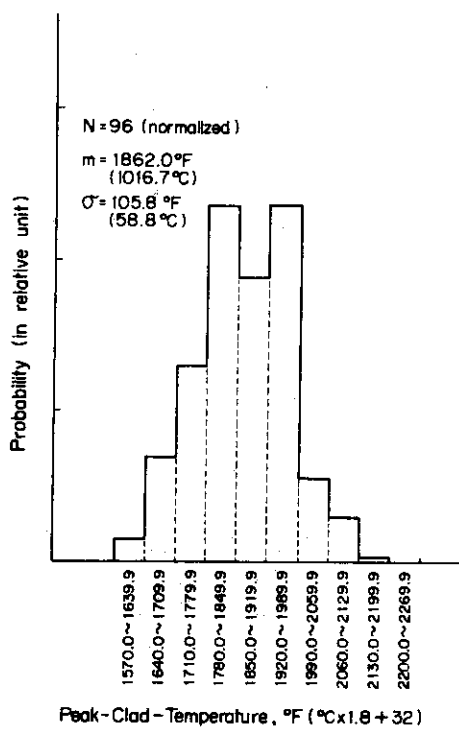


Fig. 16 Probability distribution of PCTs with the input data distribute as assumed in Fig.15 (The first group of experiments)

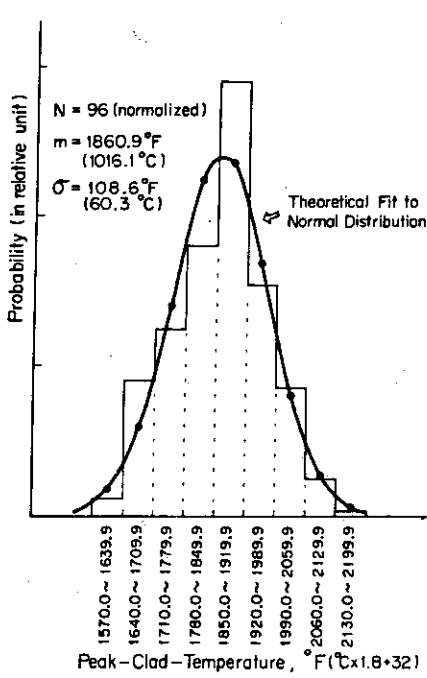


Fig. 17 Probability distribution of PCTs with the input data distribute as assumed in Fig.15 (The second group of experiments)

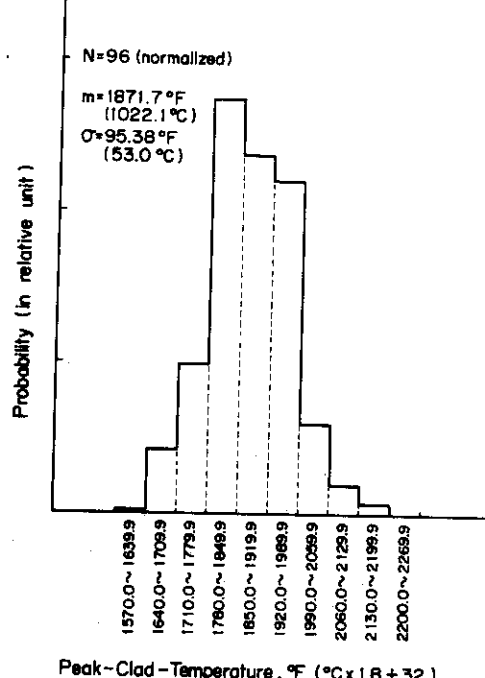


Fig. 18 Probability distribution of PCTs when the input data distribute as assumed in Fig.15 (The third group of experiments)

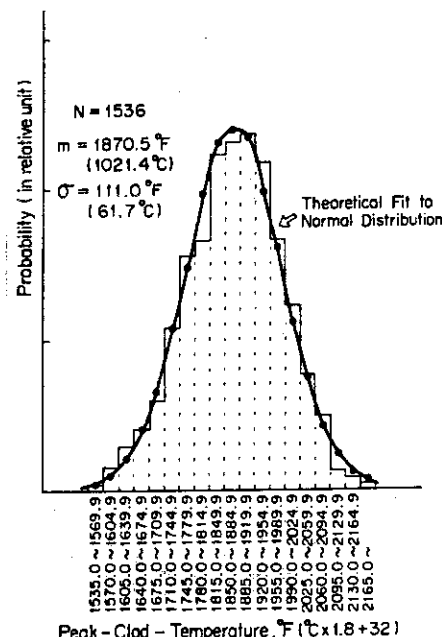


Fig. 19 Probability distribution of PCTs with uniform input data distributions, calculated by the regression equation of MOXY-EM

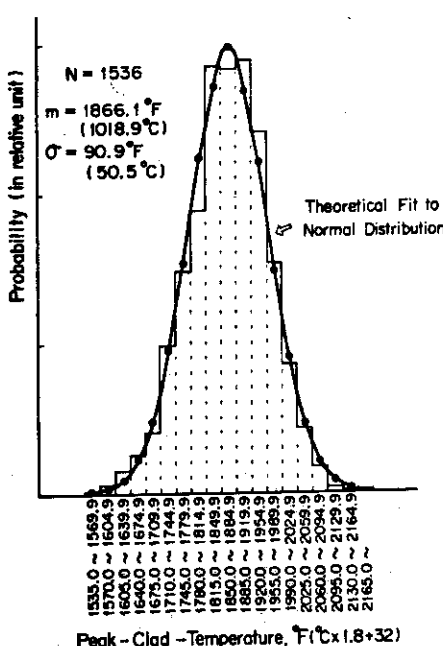


Fig. 20 Probability distribution of PCTs when the input data vary as assumed in Fig. 15, calculated by the regression equation of MOXY-EM

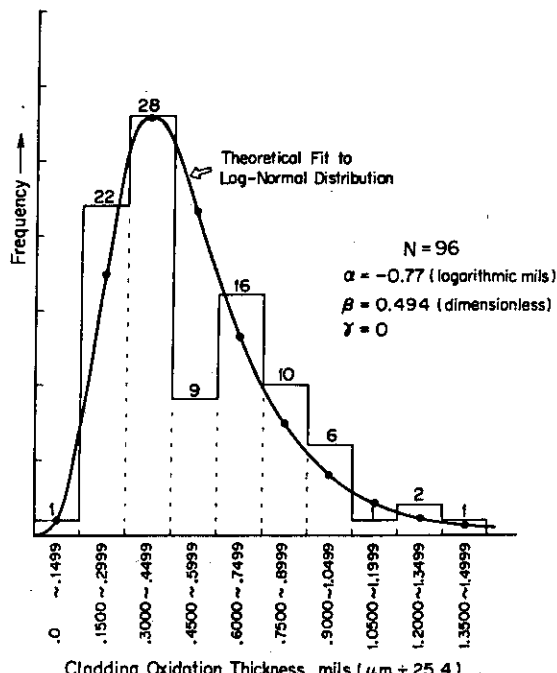


Fig. 21 Output distribution of COTs, or probability distribution of COTs when the factor uniformly varies through the levels within the range (The first group of experiments)

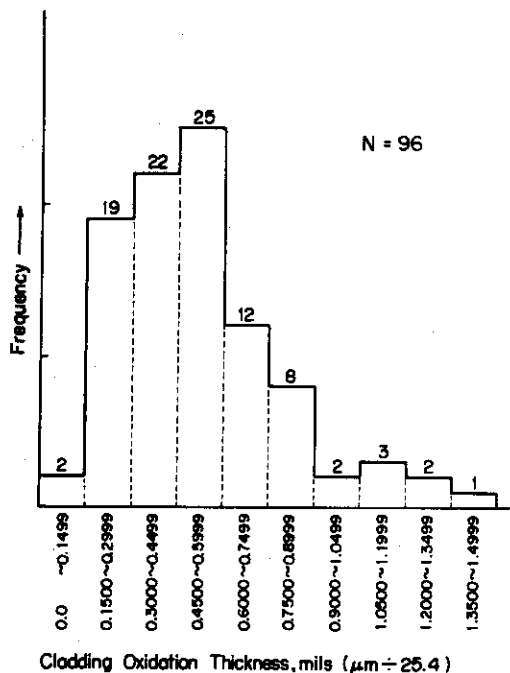


Fig. 22 Output distribution of COTs, or probability distribution of COTs when the factor uniformly varies through the levels within the range (The third group of experiments)

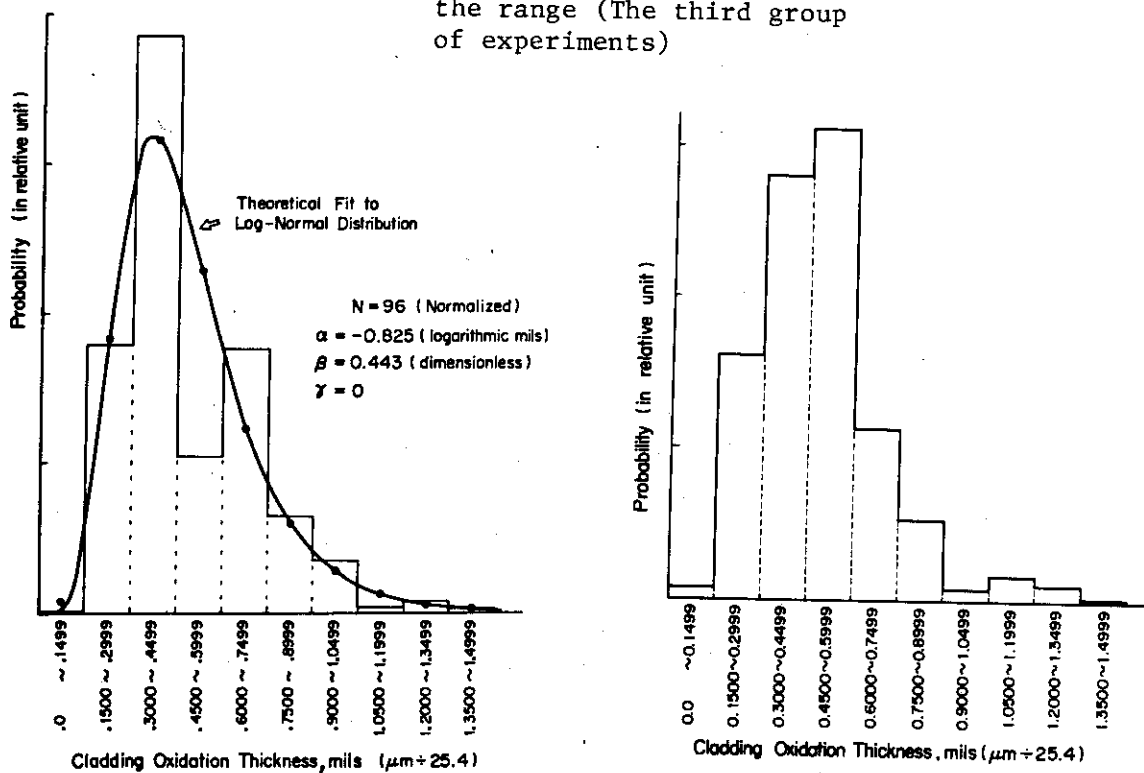


Fig. 23 Probability distribution of COTs when the input data distribute as assumed in Fig. 15 (The first group of experiments)

Fig. 24 Probability distribution of COTs when the input data distribute as assumed in Fig. 15 (The third group of experiments)

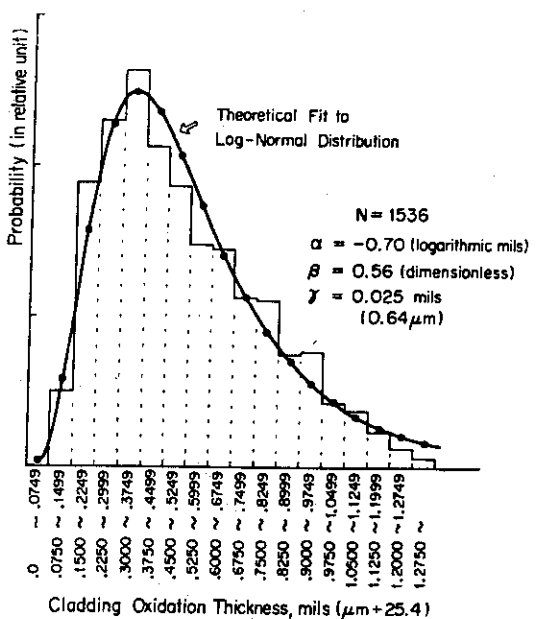


Fig. 25 Probability distribution of COTs with uniform input data distributions, calculated by the regression equation of MOXY-EM

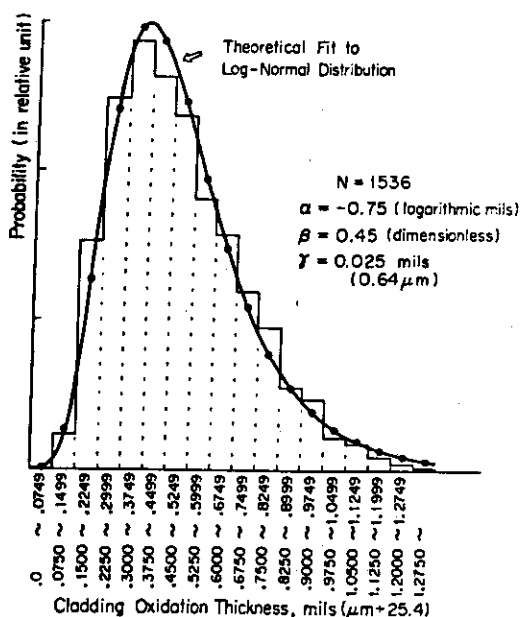


Fig. 26 Probability distribution of COTs when the input data vary as assumed in Fig. 15, calculated by the regression equation of MOXY-EM

7. 最高被覆管表面温度と最大被覆管酸化層厚さの統計的関係

Fig. 27, 28 は、それぞれ実験第1組、実験第3組について PCT と COT を片対数グラフにプロットしたものである。この2つの図から、PCT と $\ln COT$ とは線型の関係にあると見ることができよう。

すなわち

$$PCT = T_0 \ln \frac{COT + r}{\xi}$$

と書くことができる。ここで

$$PCT \equiv y$$

$$COT \equiv x$$

とおくと、

$$y = T_0 \ln \frac{x + r}{\xi}$$

となる。これを y の正規分布関数 $f(y)$ に代入して x の分布関数 $g(x)$ を求めてみる。

$$\begin{aligned} f(y) &= \frac{1}{\sqrt{2\pi}\sigma} \exp \left[-\frac{(y - m)^2}{2\sigma^2} \right] \\ g(x) &= f(y) \frac{dy}{dx} \\ &= \frac{1}{\sqrt{2\pi}\sigma} \left\{ \exp \left[-\frac{\left(T_0 \ln \frac{x+r}{\xi} - m \right)^2}{2\sigma^2} \right] \right\} \frac{T_0}{x+r} \\ &= \frac{T_0}{\sqrt{2\pi}\sigma} \frac{1}{x+r} \exp \left[-\frac{T_0^2 \left(\ln \frac{x+r}{\xi} - \frac{m}{T_0} \right)^2}{2\sigma^2} \right] \\ &= \frac{T_0}{\sqrt{2\pi}\sigma} \frac{1}{x+r} \exp \left[-\frac{\left(\ln(x+r) - \ln \xi - \frac{m}{T_0} \right)^2}{2\sigma^2/T_0^2} \right] \\ &= \frac{1}{\sqrt{2\pi}\alpha} \frac{1}{x+r} \exp \left[-\frac{\left(\ln(x+r) - \beta \right)^2}{2\alpha^2} \right] \end{aligned}$$

但し, $\alpha = \sigma / T_0$ m : 正規分布の平均値
 $\beta = \ln \xi + \frac{m}{T_0}$ σ : 正規分布の標準偏差
 $r = r$

この結果は、6.2節でヒストグラムから得た COT の分布関数と一致する。

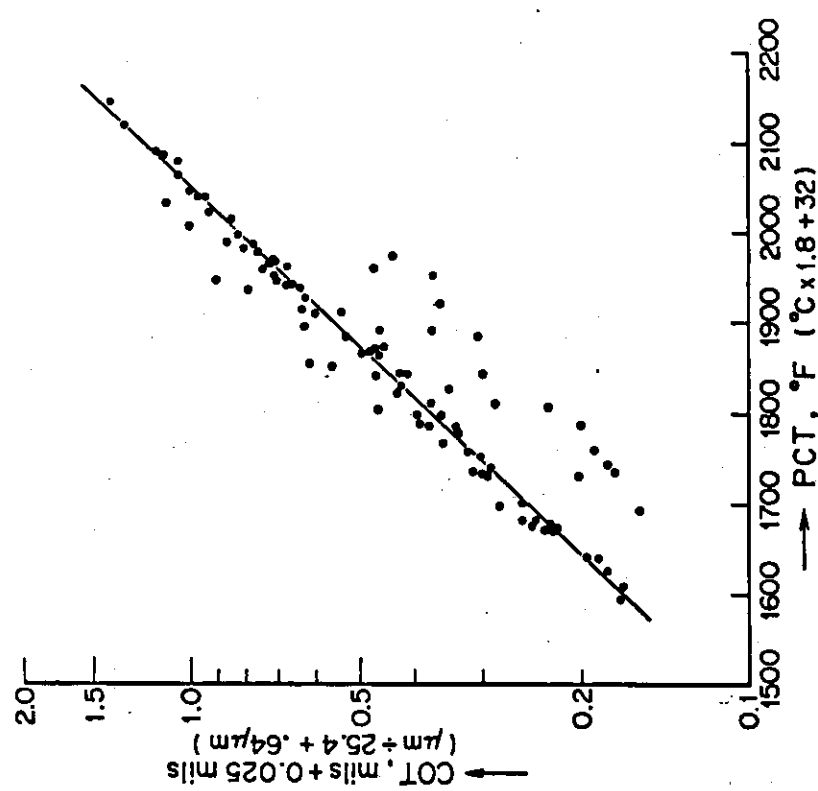


Fig. 27 The relation between COTs and PCTs. The plotting shows the $[COT+0.025]$ is approximately given by the exponential of PCT. (The first group of experiments)

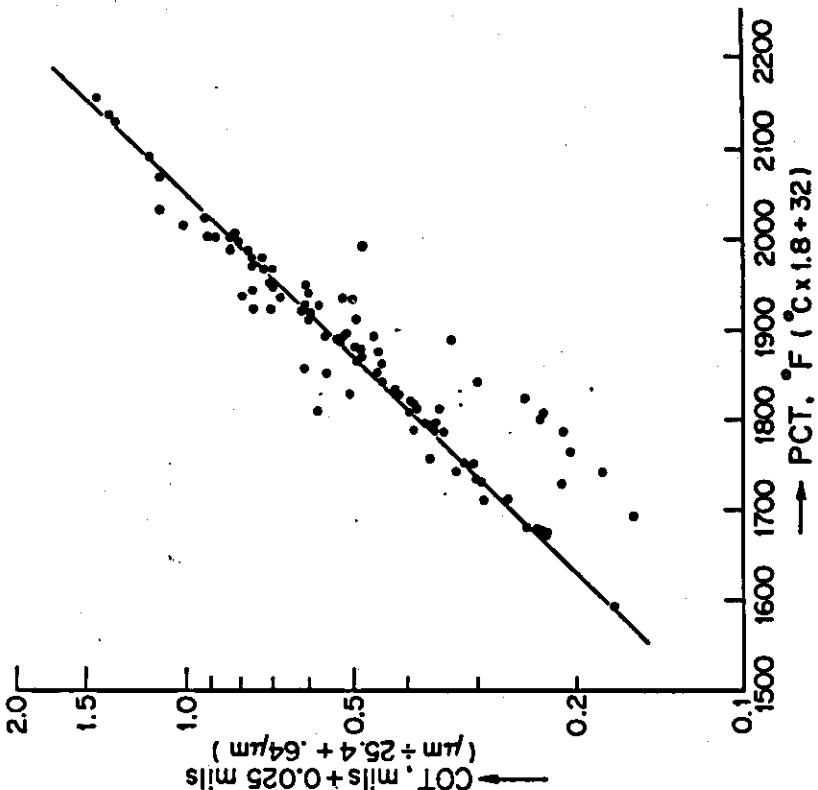


Fig. 28 The relation between COTs and PCTs. The plotting shows the $[COT+0.025]$ is approximately given by the exponential of PCT. (The third group of experiments)

8. ま　と　め

以上、BWR・LOCA 時における燃料棒被覆管の最高表面温度と最大酸化層厚さの確率分布を得ること、およびその方法を確立する目的でバラツキ解析（Uncertainty Analysis）を行ってきた。以下に得られた結論をまとめる。

結論 1. BWR の LOCA 時には、燃料棒被覆管の最高表面温度は正規分布を、また最大酸化層厚さは対数－正規分布をとることが確認された。ただし、これは、6 個の変数（炉心スプレー開始時刻、被覆管破裂温度、チャンネル・ボックス濡れに関する山内の式から得た時刻からの遅れ時間、ギャップ熱伝達係数初期値、再冠水時刻、炉心スプレー中の表面熱伝達係数）のみが Table 1 で与えられた数値の範囲を変動すると仮定された場合で、かつ、MOXY-EM コード・モデルが妥当なものであれば、という条件の下に限る。

結論 2. 上記の場合、最大酸化層厚さ(x)と最高表面温度(y)の間には統計的に見て次式のような簡単な関係が成立つ。

$$y = T_0 \ln \frac{x + \tau}{\xi}$$

T_0 , τ , ξ : 定数

結論 3. 因子として選んだ 6 個の変数のみが変動しうるものであり、他の計算条件は標準値に固定された場合、MOXY-EM 計算コードによる最高表面温度と最大酸化層厚さの計算結果に近い値を与えることのできる、6 個の変数より成る多項式を得ることができた。

結論 4. 今回の数値実験において採用した計画法は次の通りであった。

1) その効果を見たい要因の種類および各々の上下限値を決め、その区間内をさらに細かく水準にわける。このとき水準幅は、水準にわけたことによる要因効果への影響がなくなるように充分小さく、かつ全体の水準組合せ回数が少なくなるように充分大きくとる。

2) 直交表による水準割り付けを実施する（直交表 L₆₄）。とり入れる交互作用を少なくする（3 次以上は無視、2 次も最小限に止める）。

3) 水準数の多い要因 E の割り付けを一部追加法により処理する。こうして得られた二組の直交表割り付けより、第一の割り付けのものに第二の割り付けの半分を加えて今回の計画とした。ここに得られた水準組合せ（96 回）は、もはや相互に直交はしていない。この割り付けの特徴の一つは、各要因の出現回数が相互に等しいことである。また、各割り付け点は 6 次元空間（A～F の張る空間）の中に、ある規則性の下に均一にちらばっているといえる。

4) 要因の各水準毎の値は、その水準区内で実験毎にランダムに選択する。

5) こうして数値実験を行い、得られた最高表面温度、最大酸化層厚さの度数分布を調べて関数型を推定する。

6) 一方、上記実験セットを各因子の水準番号を相互に交換して同じわりつけ表に従ってもう一回繰り返し、前回と合せたデータ・セットを対象に重回帰分析を実施する。分析対象データの

数を増やしたのは、分析の精度を上げるためである。

7) 6)で得られた回帰式を利用して経済的に全組合せ（1536 回）について計算を実施し、その度数分布を調べて 5)で調べた結果を再確認する。

8) 3)の計画の元になる 64 個の組合せ 2つについての実験結果の分散分析も合せて試みた。しかしこの件は、7)までに述べた実験の計画、実施、その解析の主たる流れには特に関連がない。

9) 以上の方法により、妥当な結果を得ることができた。したがってこの方法は、今後の同様な解析に際してもこのまま利用できる、あるいは方法の改良に参考になると思える。

今回は試験的な数値実験であったので、MOXY-EMコードを使用したのであるが、バラツキ解析の本来の目的は BE (Best Estimate) コードを使用することによって、より現実的な分布を得ることにあると思われる。これによって、安全評価計算用の保守的な EM コードがどの程度保守的なものなのかも評価することができる。したがって、できるだけ早い時期に BE コードが開発されることを望むしたいである。

謝　　辞

本研究にあたっては、安全性コード開発室の阿部清治氏による入力データに関する有意義な討論、御教示に対し、感謝の意を表する。

数を増やしたのは、分析の精度を上げるためである。

7) 6)で得られた回帰式を利用して経済的に全組合せ（1536 回）について計算を実施し、その度数分布を調べて 5)で調べた結果を再確認する。

8) 3)の計画の元になる 64 個の組合せ 2つについての実験結果の分散分析も合せて試みた。しかしこの件は、7)までに述べた実験の計画、実施、その解析の主たる流れには特に関連がない。

9) 以上のことにより、妥当な結果を得ることができた。したがってこの方法は、今後の同様な解析に際してもこのまま利用できる、あるいは方法の改良に参考になると思える。

今回は試験的な数値実験であったので、MOXY-EMコードを使用したのであるが、バラツキ解析の本来の目的は BE (Best Estimate) コードを使用することによって、より現実的な分布を得ることにあると思われる。これによって、安全評価計算用の保守的な EM コードがどの程度保守的なものなのかを評価することができる。したがって、できるだけ早い時期に BE コードが開発されることを望むしたいである。

謝　　辞

本研究にあたっては、安全性コード開発室の阿部清治氏による入力データに関する有意義な討論、御教示に対し、感謝の意を表する。

参 考 文 献

- (1) N. D. Cox : "Summary of Code Uncertainty Analysis Methods," Presented at the 3rd Water Reactor Safety Research Information Mtg., Washington (1975).
- (2) M. D. McKay : "An Example of Statistical Sensitivity Analysis Techniques," presented at the 3rd Water Reactor Safety Research Information Mtg., Washington (1975).
- (3) T. Shimooke & K. Matsumoto : *Nucl. Technol.*, **35**, 1, 119 (1977).
- (4) D. R. Evans : "MOXY: A Digital Computer Code for Core Heat Transfer Analysis," IN-1392, Idaho Nuclear Corporation (1970).
- (5) Regulatory Staff : "WREM : Water Reactor Evaluation Model," NUREG-75/056, p. 4-1, U. S. Nuclear Regulatory Commission (1975).
- (6) Regulatory Staff : "Water Reactor Evaluation Model (WREM) : BWR Nodalization and Sensitivity Studies," U. S. Nuclear Regulatory Commission (1975).
- (7) 田口玄一 : "新版実験計画法," 丸善, 東京 (1962).
- (8) 中山伊知郎編 : "統計学辞典," 東洋経済新報社 (1957).
- (9) 島田正三 : "やさしい直交配列の話," 日本規格協会, 東京
- (10) 田口玄一 : "直交表と線点図," 丸善, 東京 (1962).
- (11) 田口玄一 : "実験計画数値表," 丸善, 東京 (1962).
- (12) 日本規格協会編 : "統計数値表 JSA-1972," 日本規格協会, 東京 (1972).